

DOCTORADO EN FÍSICA NUCLEAR

Bienio 2005-2007

**Doctorado
Interuniversitario**

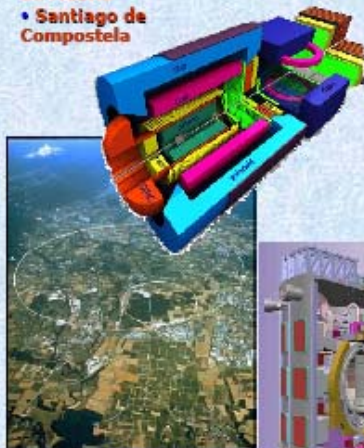
PARTICIPAN

UNIVERSIDAD

- Sevilla
- Granada
- Huelva
- Salamanca
- Complutense de Madrid
- Santiago de Compostela

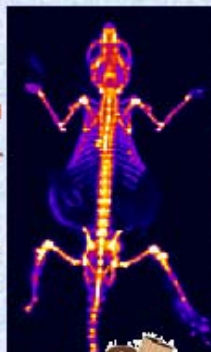
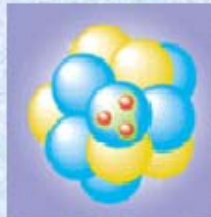
CSIC

- Instituto de Estructura de la Materia de Madrid
- Instituto de Física Corpuscular de Valencia



CURSOS

- Estructura Nuclear
- Reacciones Nucleares
- Física Nuclear Aplicada
- Física Nuclear Experimental
- Física Nuclear a Energías Intermedias



Mención de Calidad

Ministerio de Educación y Ciencia

MENCIÓN DE CALIDAD

- Cursos concentrados
- Ayudas a la movilidad para profesores y de los estudiantes
- Puntuación adicional en Becas predoctorales

DESTINATARIOS

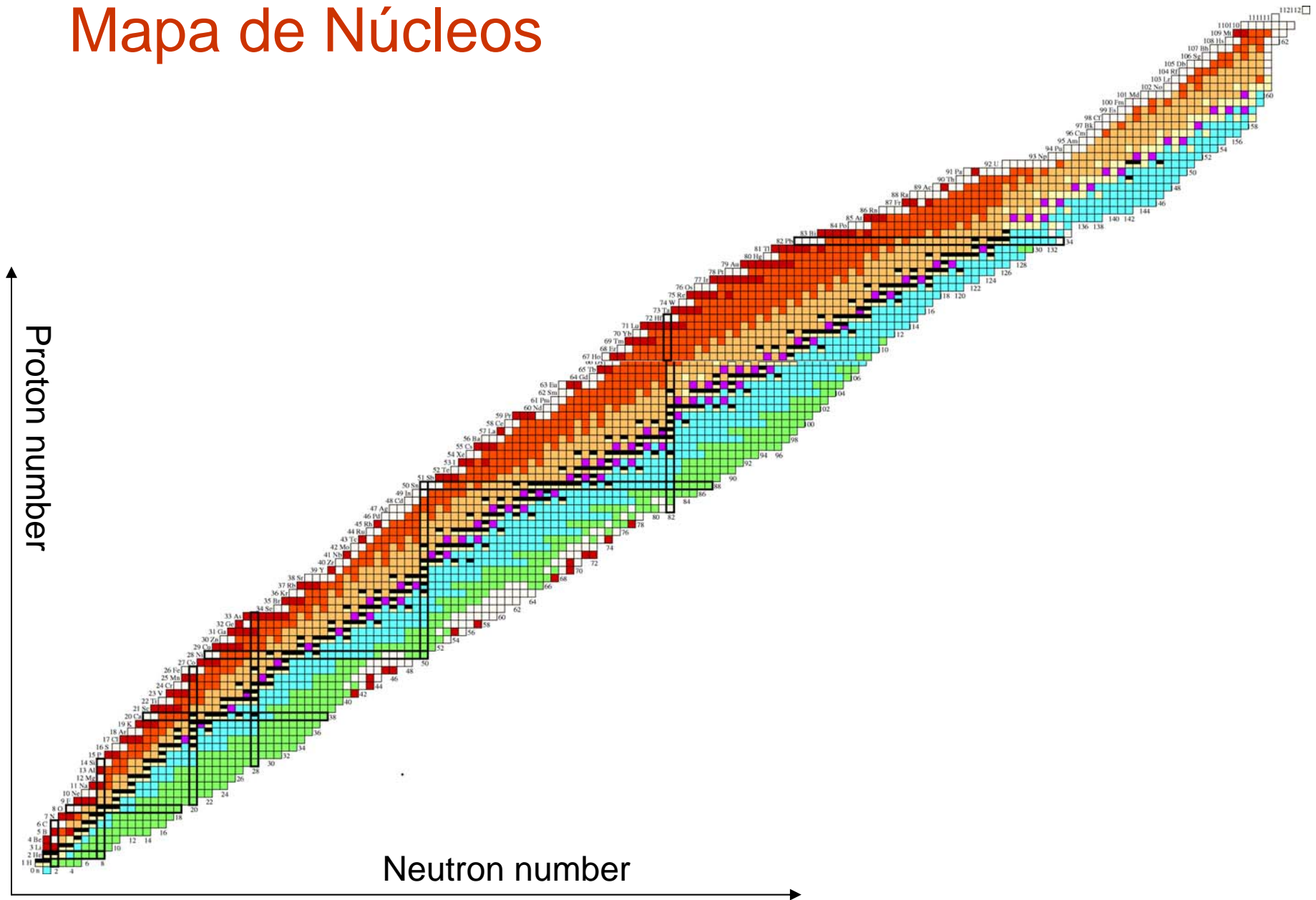
- ✓ Futuros investigadores
- ✓ Física Fundamental
- ✓ Física médica y Radiología
- ✓ Radiactividad ambiental
- ✓ Técnicas nucleares de análisis
- ✓ Técnicas de fechado por isótopos radiactivos
- ✓ Centrales nucleares

*¿Cómo son los núcleos atómicos?
¿Cómo interaccionan?
¿Qué propiedades tienen?
¿Qué es la radiactividad?
¿Qué aplicaciones tiene?
¿Qué existe más allá de los núcleos?*

Más información en →

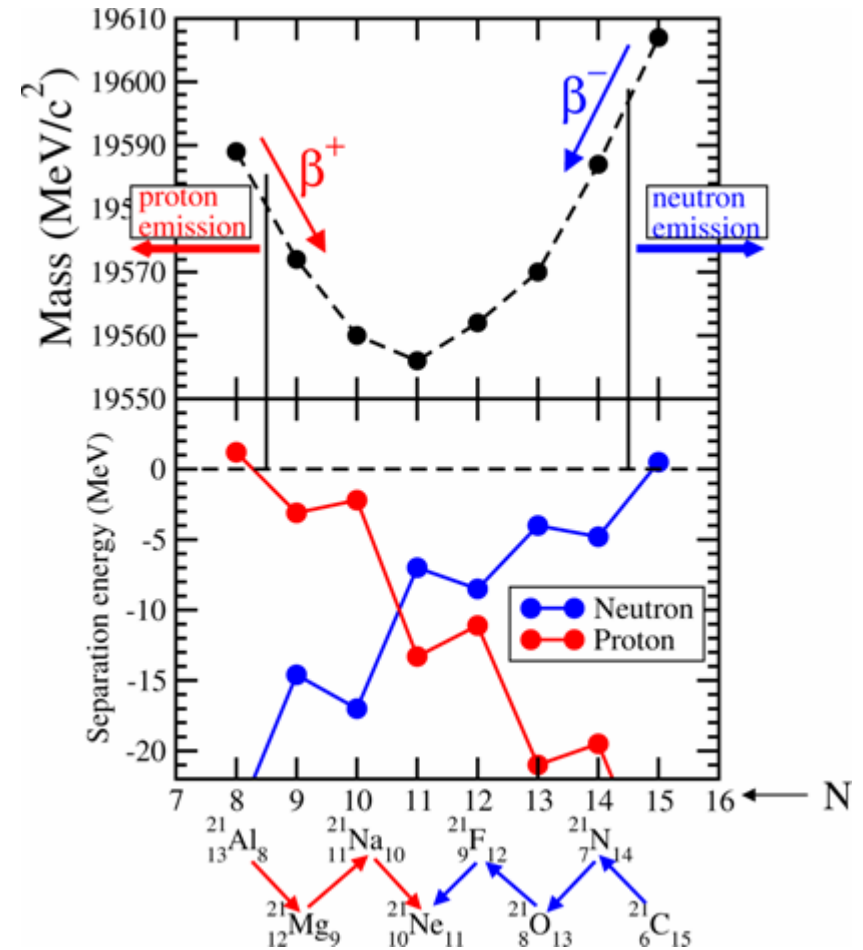
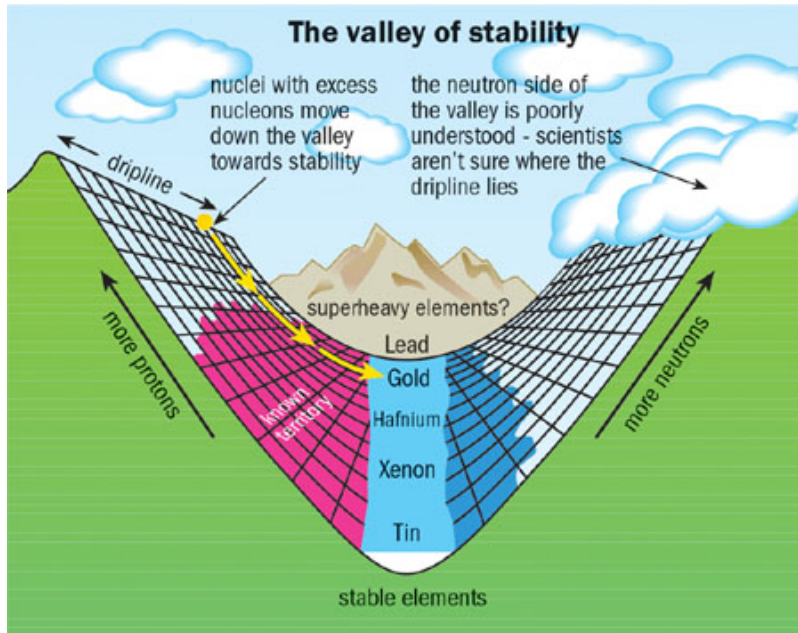
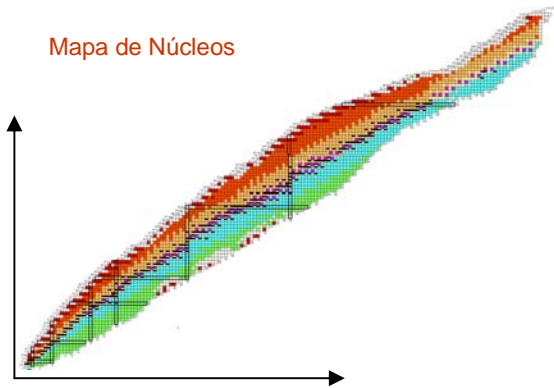
<http://fm137.uwr.es/EDFN/edfn.htm>

Mapa de Núcleos

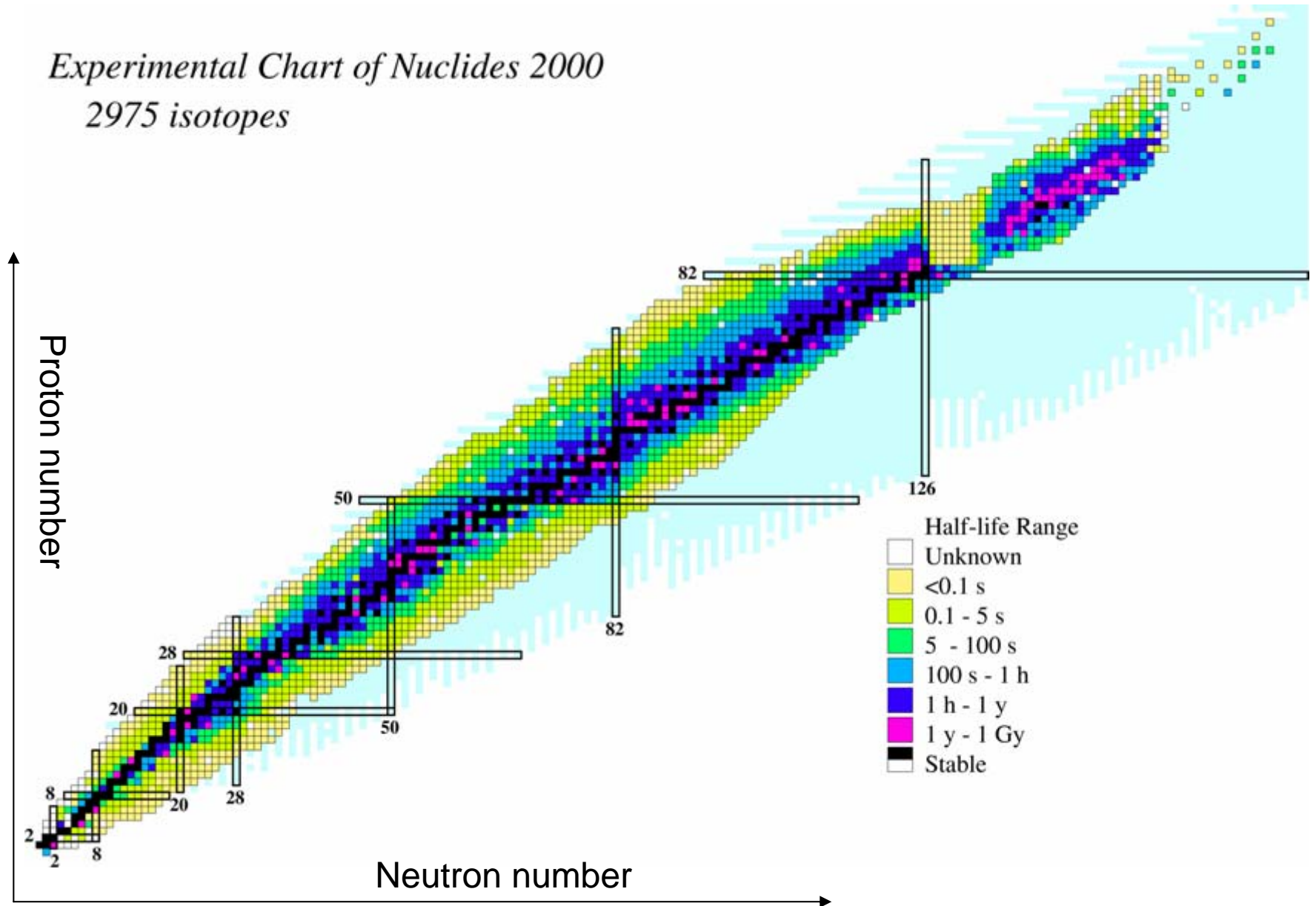


El valle de estabilidad

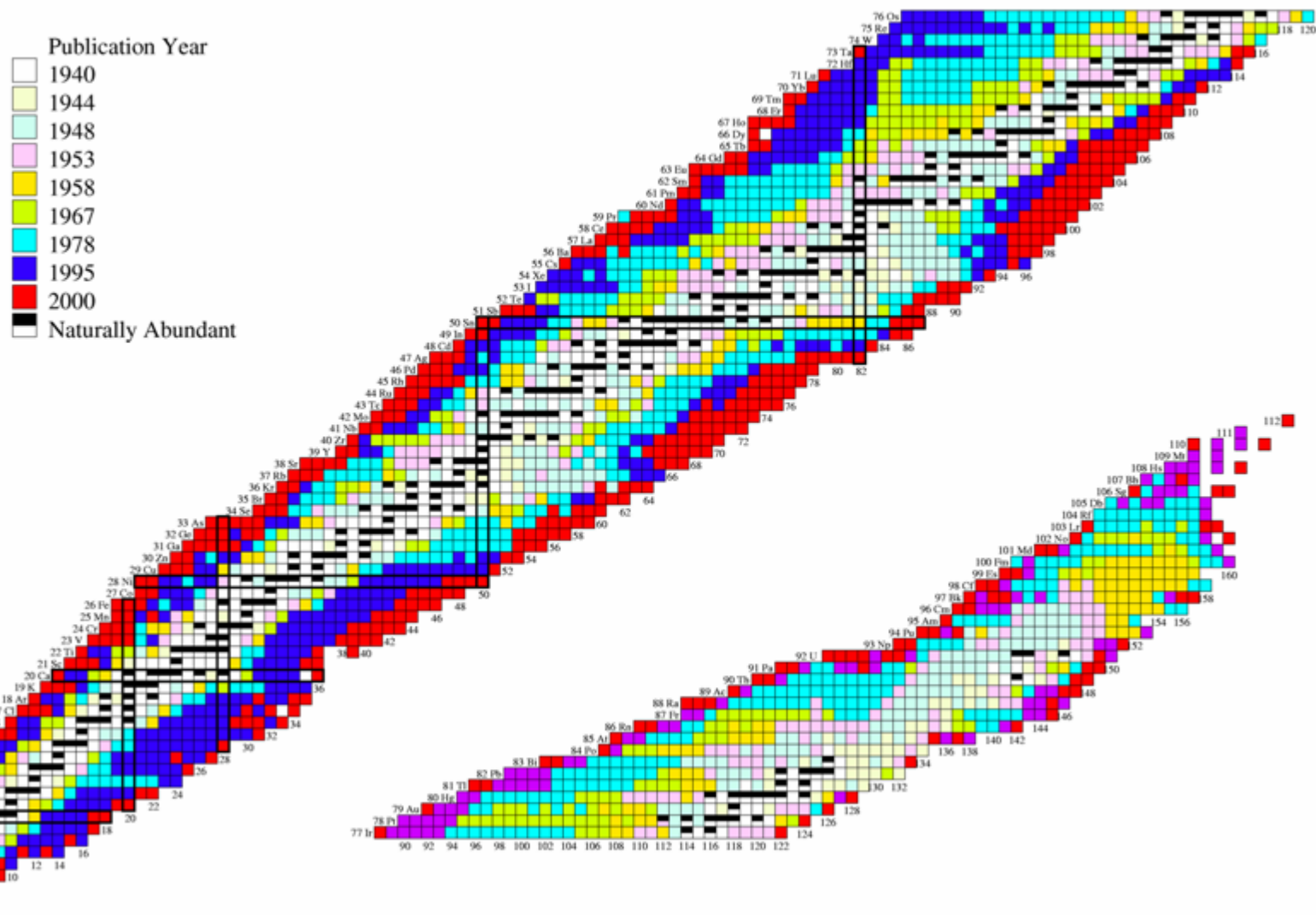
Mapa de Núcleos



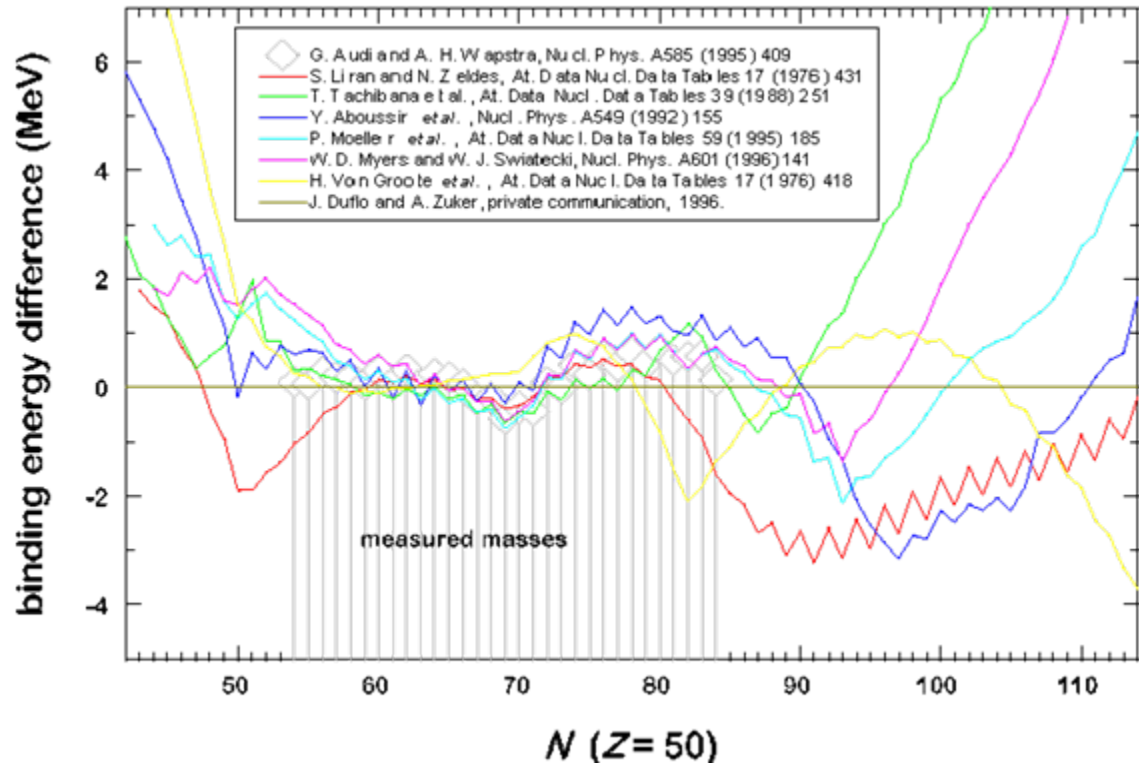
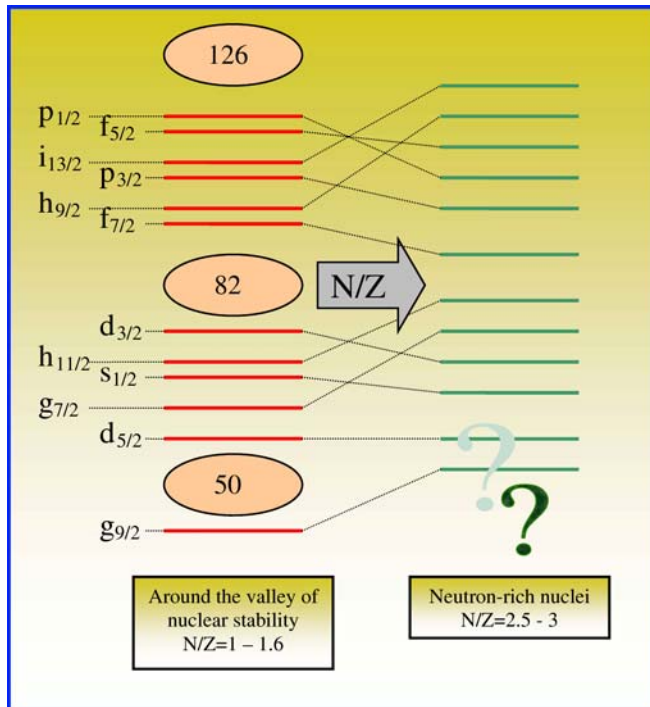
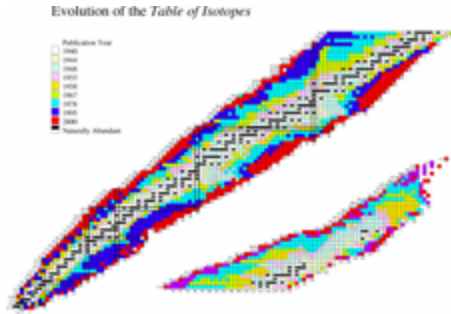
Experimental Chart of Nuclides 2000
2975 isotopes



Evolution of the *Table of Isotopes*

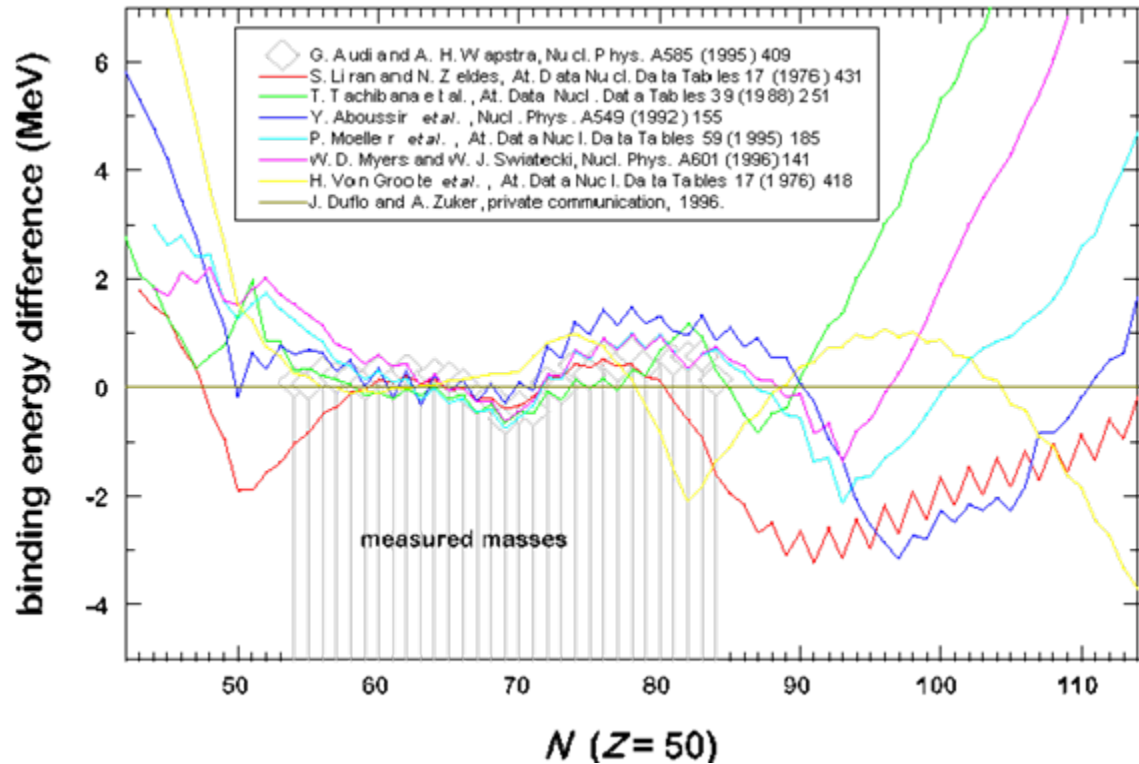
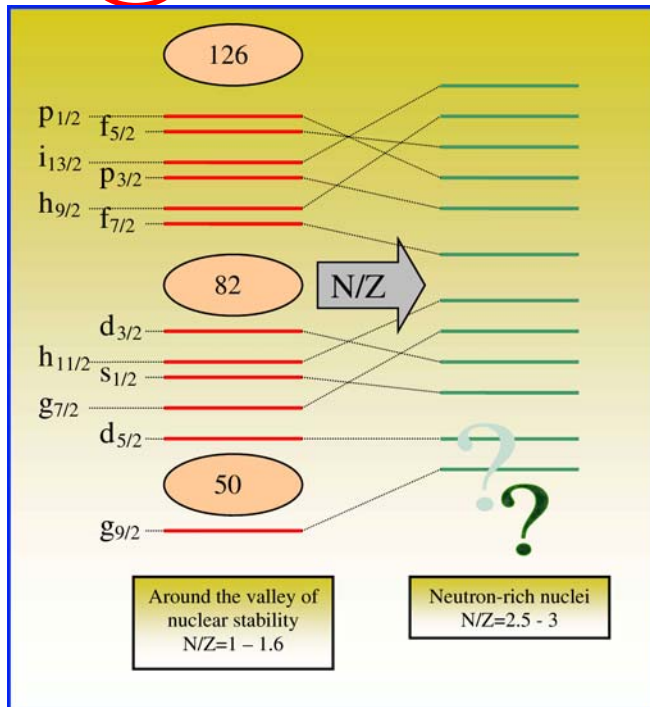
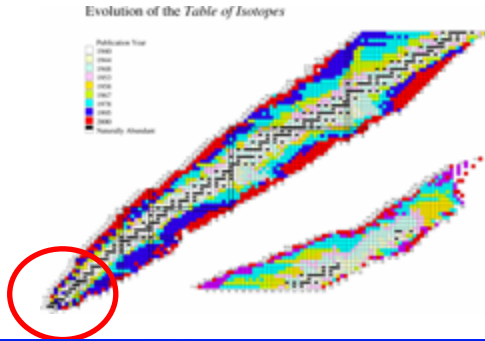


¿¿Nuevos fenómenos en las proximidades de las “driplines”??



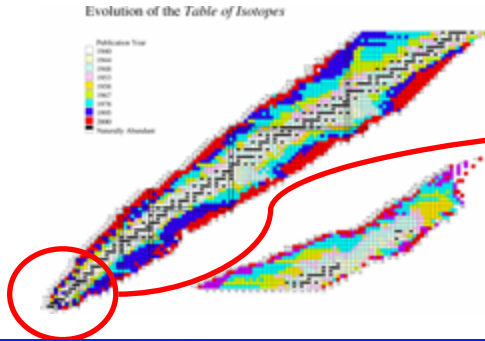
¿Validez del modelo de capas?

¿¿Nuevos fenómenos en las proximidades de las “driplines”??



¿Validez del modelo de capas?

¿¿Nuevos fenómenos en las proximidades de las “driplines”??

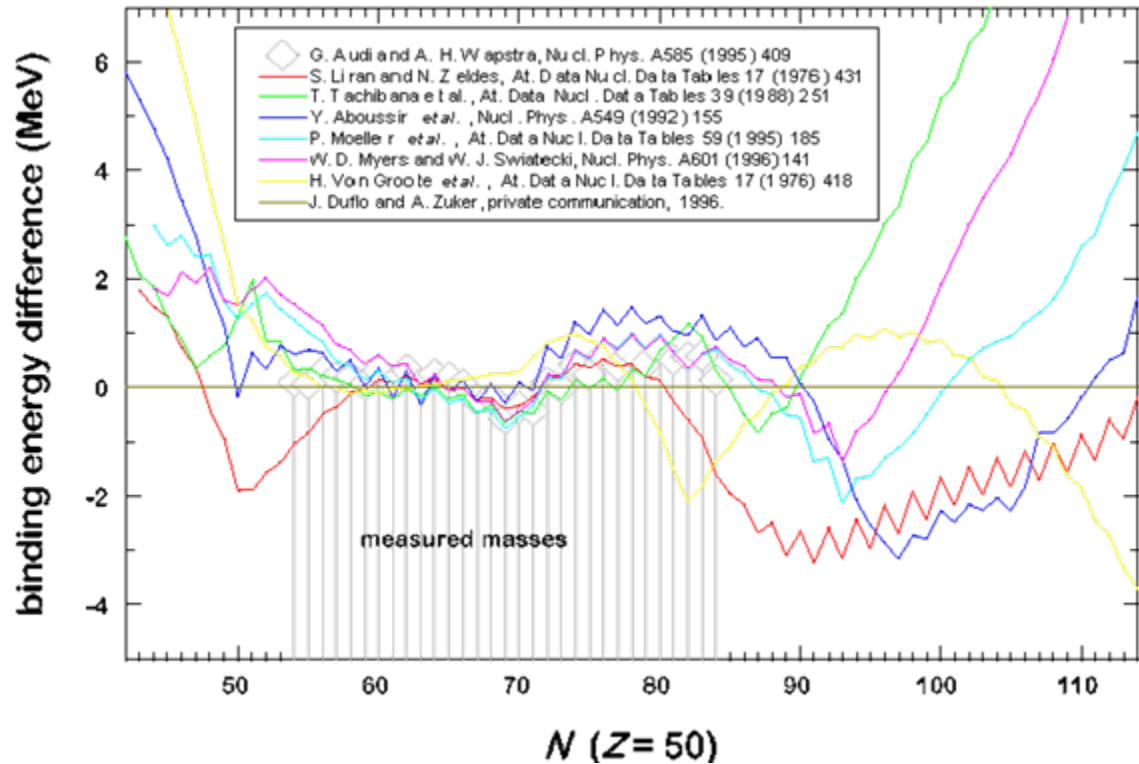
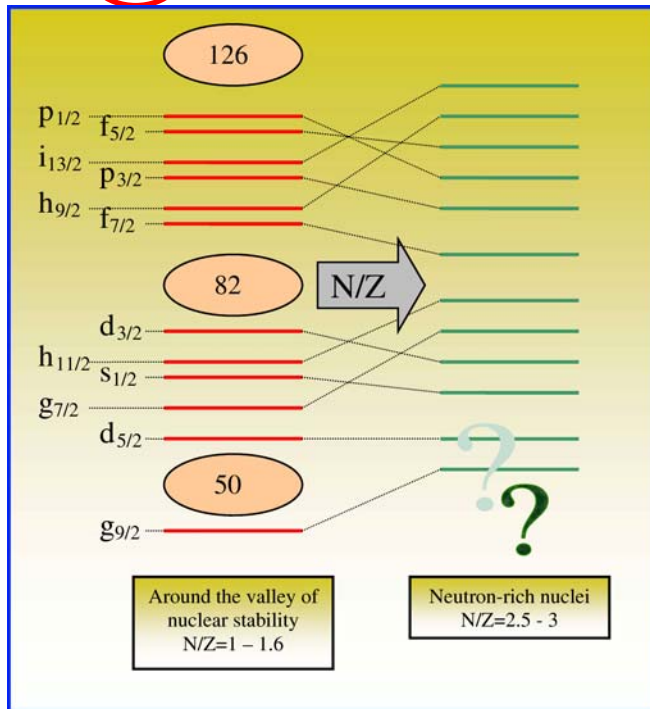


Núcleos ligeros en las “driplines”

Técnicas diferentes

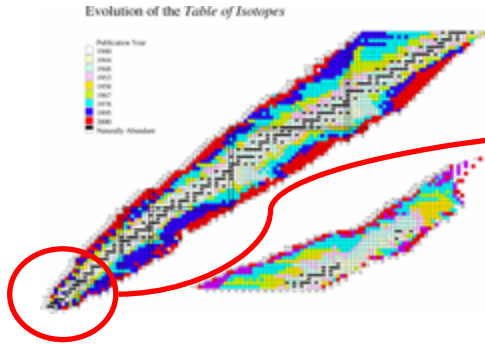
Estructuras exóticas

Núcleos con halo (de neutrones)



¿Validez del modelo de capas?

¿¿Nuevos fenómenos en las proximidades de las “driplines”??



Núcleos ligeros en las “driplines”

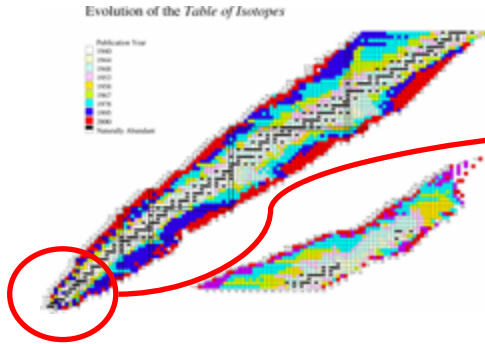
Técnicas diferentes

Estructuras exóticas

Núcleos con halo (de neutrones)

- ✓ Peculiaridades de lo núcleos ligeros en las “*driplines*”
- ✓ Energías y tamaños
- ✓ Evidencias experimentales
- ✓ Reacciones de fragmentación: “*Sudden approximation*”

¿¿Nuevos fenómenos en las proximidades de las “driplines”??



Núcleos ligeros en las “driplines”

Técnicas diferentes

Estructuras exóticas

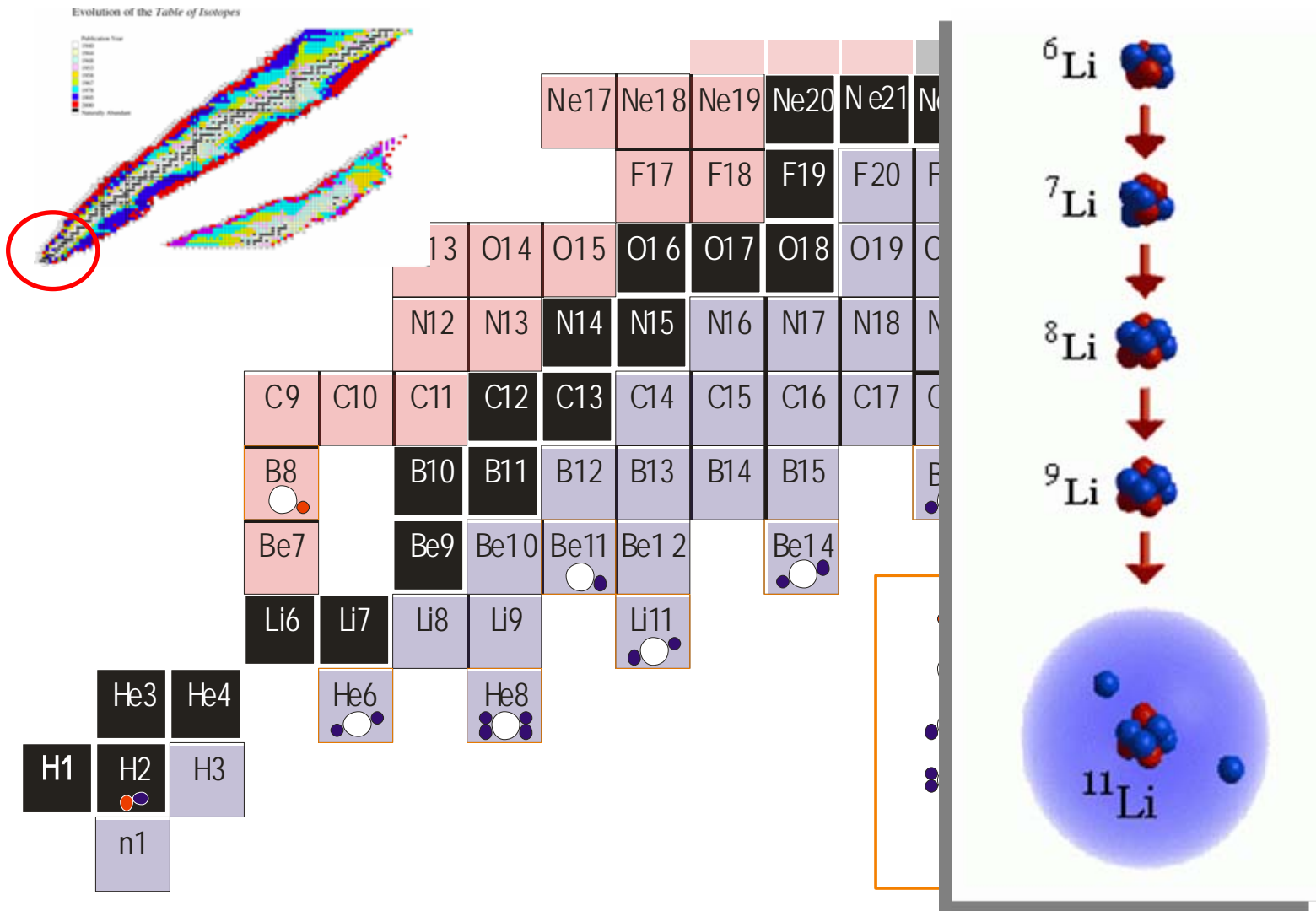
Núcleos con halo (de neutrones)

- ✓ Peculiaridades de lo núcleos ligeros en las “driplines”
- ✓ Energías y tamaños
- ✓ Evidencias experimentales
- ✓ Reacciones de fragmentación: “*Sudden approximation*”

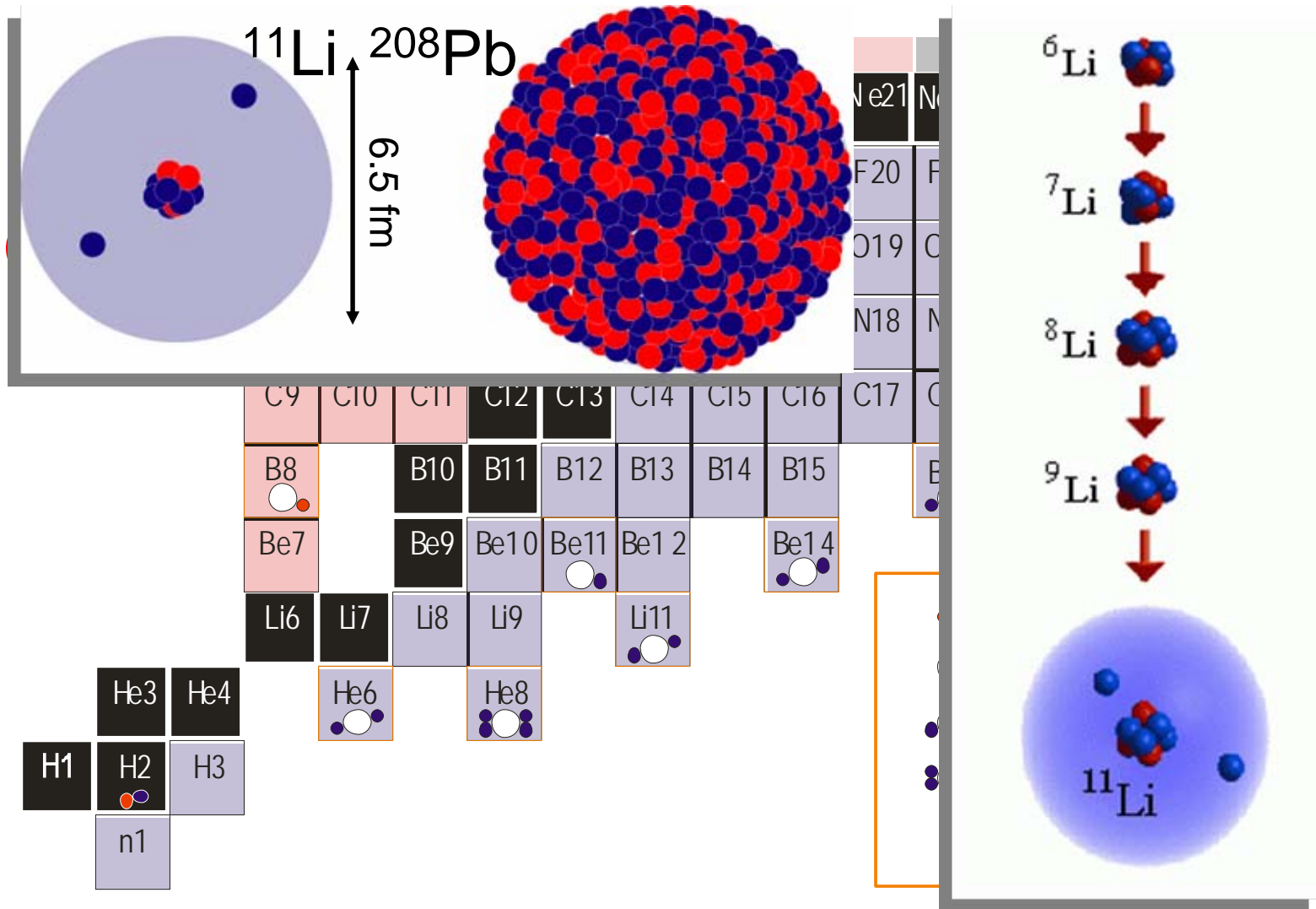
Sistemas de tres cuerpos en Física Nuclear

- ✓ Función de onda para un sistema de tres cuerpos
- ✓ Estados de Efimov
- ✓ Estados resonantes: “*Complex scaling*”

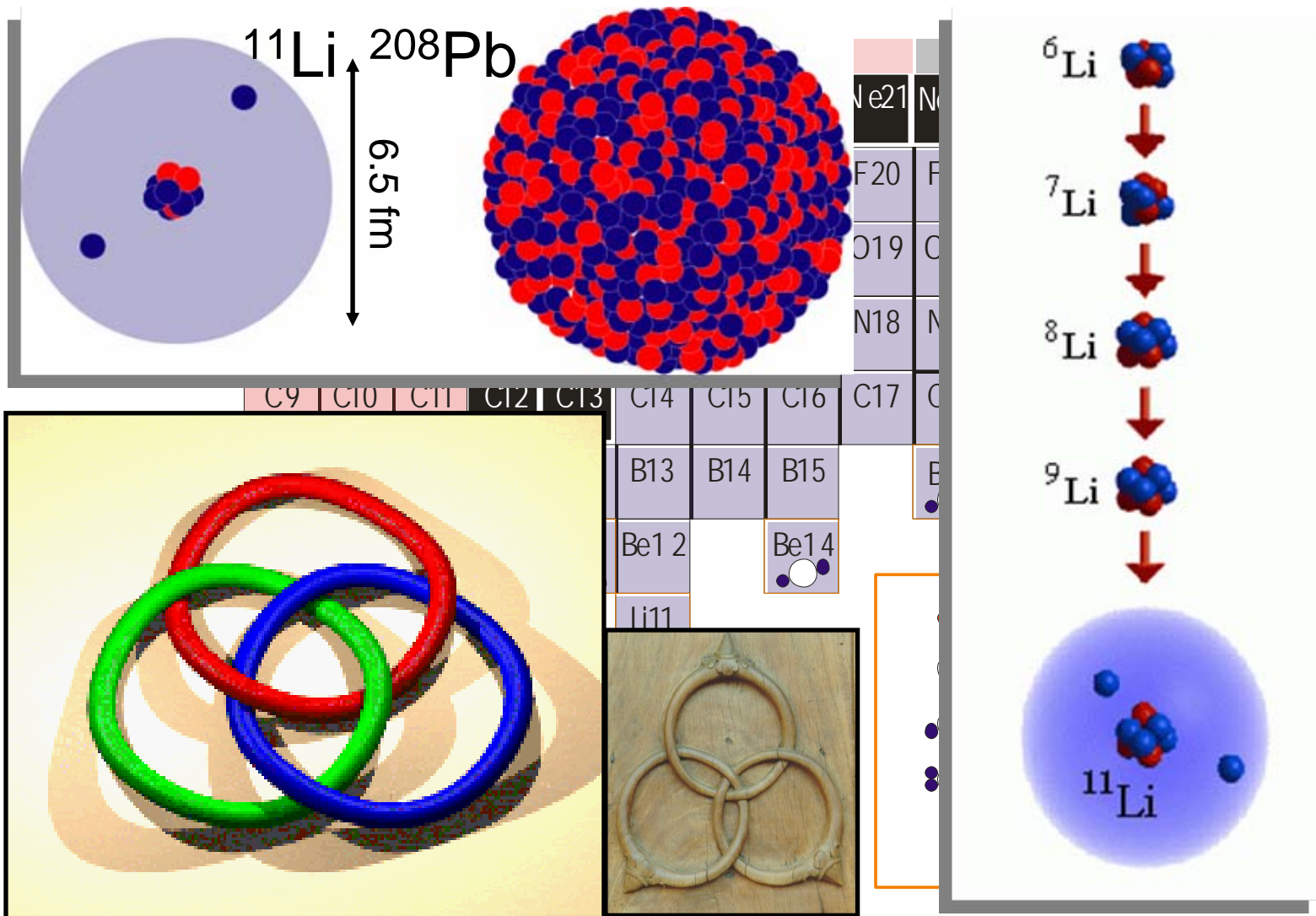
Núcleos Ligeros en las "driplines": Núcleos con halo



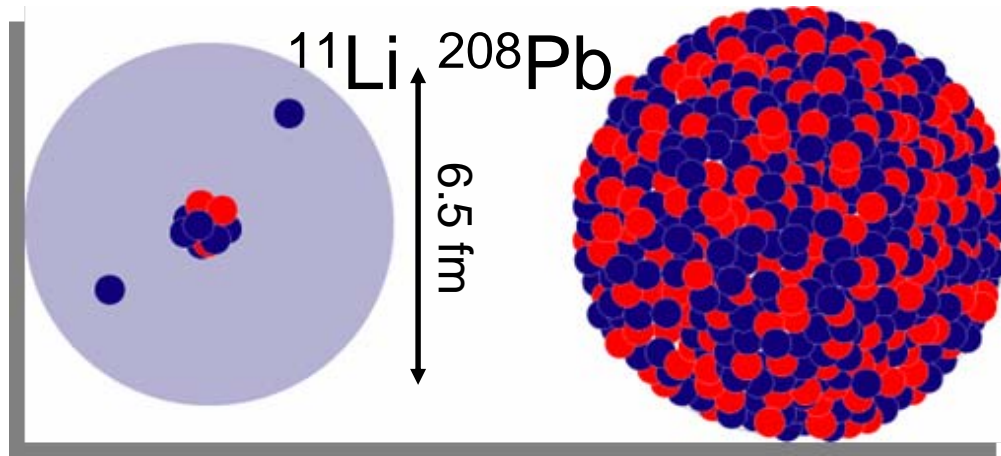
Núcleos Ligeros en las "driplines": Núcleos con halo



Núcleos Ligeros en las "driplines": Núcleos de Borromeo

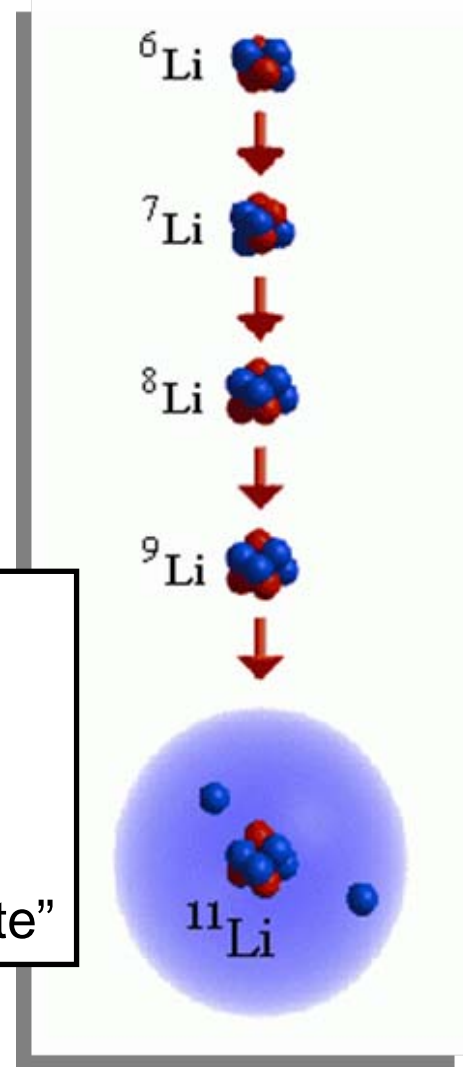


Núcleos Ligeros en las “driplines”: Núcleos de Borromeo

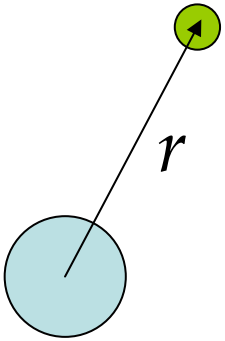


Núcleos con halo:

- ✓ Sistemas que “clusterizan”
- ✓ Sistemas poco ligados
- ✓ Espacialmente muy extensos
- ✓ Se extienden a la zona prohibida “clásicamente”



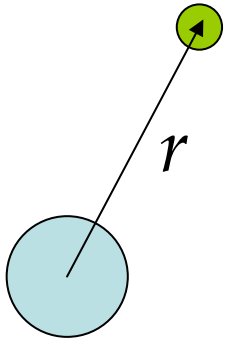
Un caso sencillo: Sistemas de dos cuerpos



Si la interacción es central $\longrightarrow \Psi_{\ell m}(\vec{r}) = \frac{u_{\ell}(r)}{r} Y_{\ell m}(\Omega)$

$$\left[-\frac{\hbar^2}{2\mu} \frac{d^2}{dr^2} + V(r) - E + \frac{\hbar^2}{2\mu} \frac{\ell(\ell+1)}{r^2} \right] u_{\ell}(r) = 0$$

Un caso sencillo: Sistemas de dos cuerpos



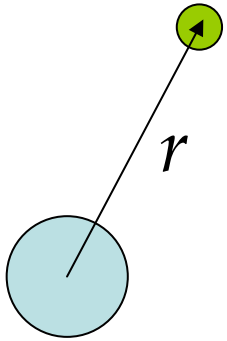
Si la interacción es central $\longrightarrow \Psi_{\ell m}(\vec{r}) = \frac{u_{\ell}(r)}{r} Y_{\ell m}(\Omega)$

$$\left[-\frac{\hbar^2}{2\mu} \frac{d^2}{dr^2} + V(r) - E + \frac{\hbar^2}{2\mu} \frac{\ell(\ell+1)}{r^2} \right] u_{\ell}(r) = 0$$

$$\langle r^n \rangle = \int_0^{\infty} r^n (u_{\ell}(r))^2 dr \equiv I_n^{\ell}(r < a) + O_n^{\ell}(r > a)$$

$$P_{\ell} = \frac{O_0^{\ell}}{I_0^{\ell} + O_0^{\ell}}$$

Un caso sencillo: Sistemas de dos cuerpos

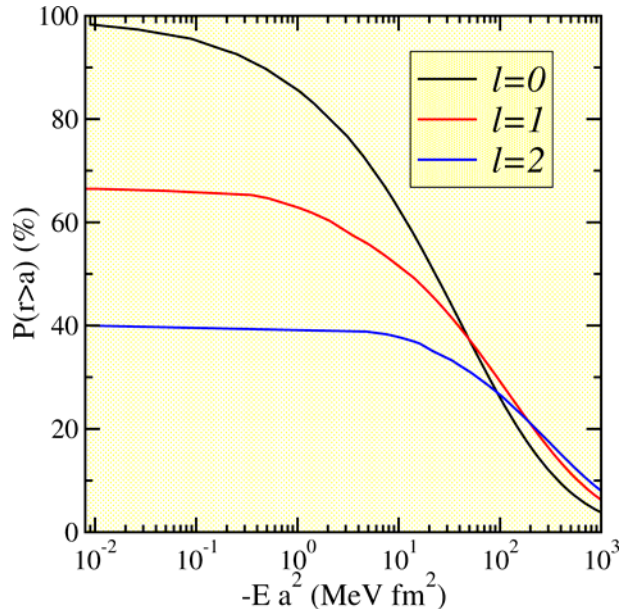


Si la interacción es central $\longrightarrow \Psi_{\ell m}(\vec{r}) = \frac{u_{\ell}(r)}{r} Y_{\ell m}(\Omega)$

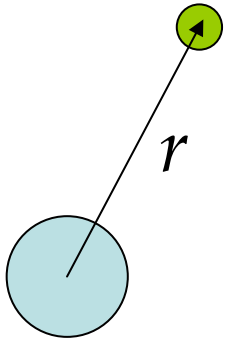
$$\left[-\frac{\hbar^2}{2\mu} \frac{d^2}{dr^2} + V(r) - E + \frac{\hbar^2}{2\mu} \frac{\ell(\ell+1)}{r^2} \right] u_{\ell}(r) = 0$$

$$\langle r^n \rangle = \int_0^{\infty} r^n (u_{\ell}(r))^2 dr \equiv I_n^{\ell}(r < a) + O_n^{\ell}(r > a)$$

$$P_{\ell} = \frac{O_0^{\ell}}{I_0^{\ell} + O_0^{\ell}}$$



Un caso sencillo: Sistemas de dos cuerpos

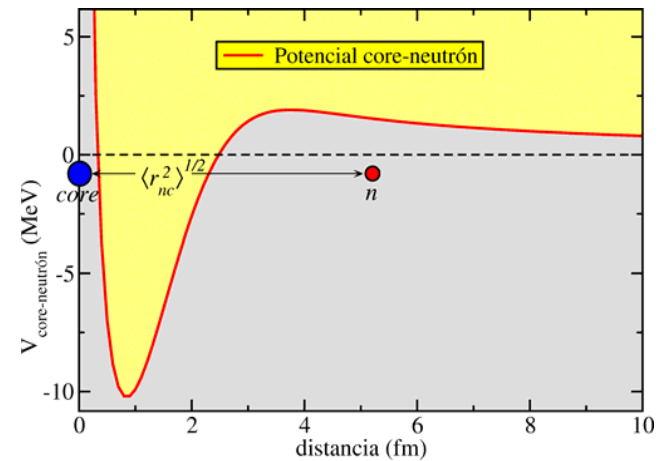
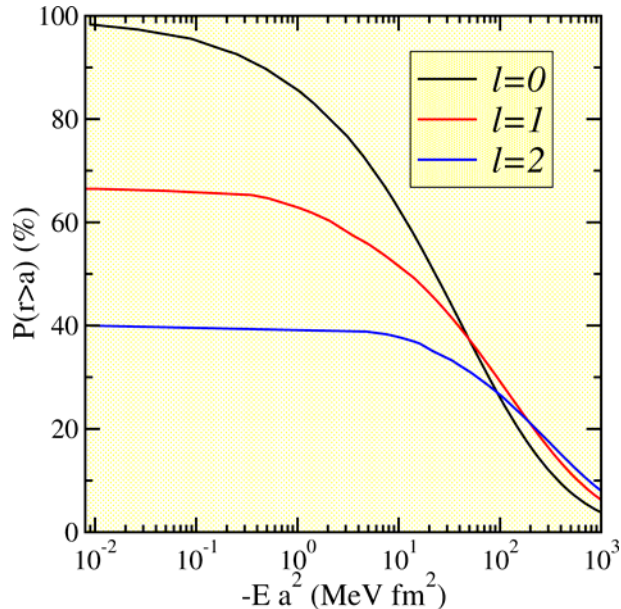


Si la interacción es central $\longrightarrow \Psi_{\ell m}(\vec{r}) = \frac{u_{\ell}(r)}{r} Y_{\ell m}(\Omega)$

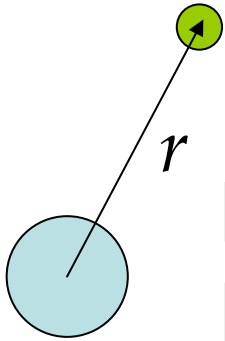
$$\left[-\frac{\hbar^2}{2\mu} \frac{d^2}{dr^2} + V(r) - E + \frac{\hbar^2}{2\mu} \frac{\ell(\ell+1)}{r^2} \right] u_{\ell}(r) = 0$$

$$\langle r^n \rangle = \int_0^{\infty} r^n (u_{\ell}(r))^2 dr \equiv I_n^{\ell}(r < a) + O_n^{\ell}(r > a)$$

$$P_{\ell} = \frac{O_0^{\ell}}{I_0^{\ell} + O_0^{\ell}}$$



Un caso sencillo: Sistemas de dos cuerpos

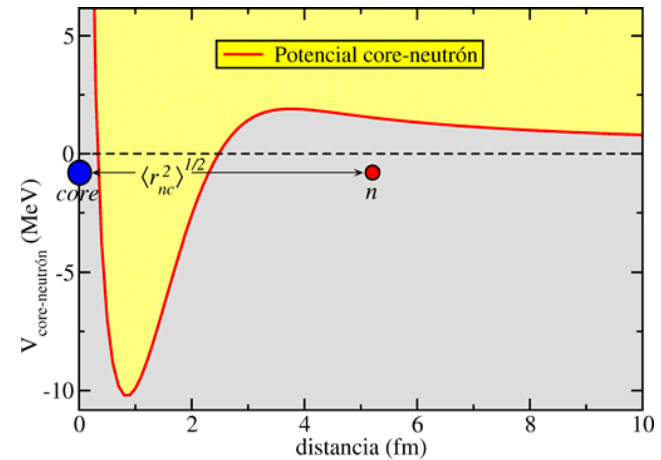
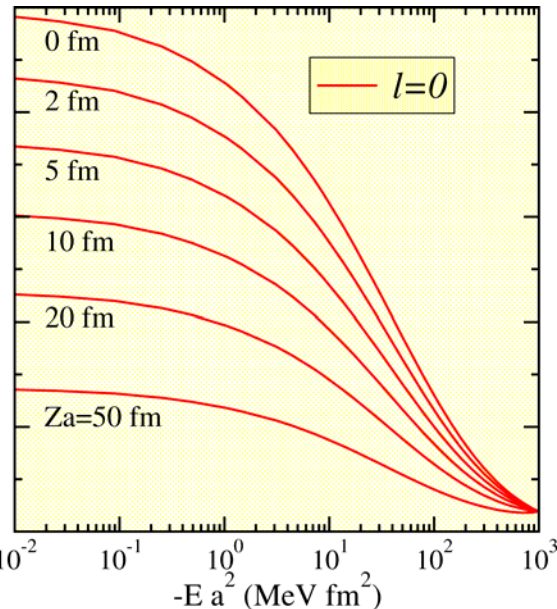
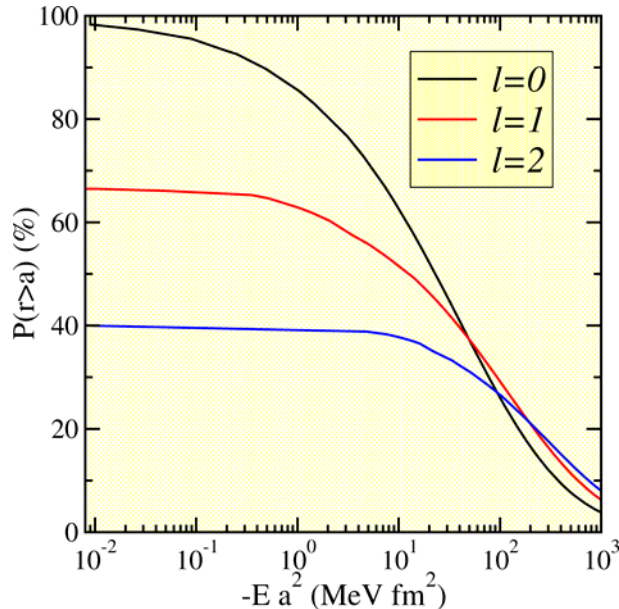


Si la interacción es central $\longrightarrow \Psi_{\ell m}(\vec{r}) = \frac{u_\ell(r)}{r} Y_{\ell m}(\Omega)$

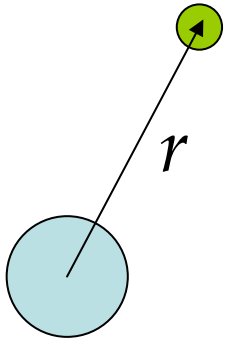
$$\left[-\frac{\hbar^2}{2\mu} \frac{d^2}{dr^2} + V_N(r) + \hbar c \frac{Z_1 Z_2 \alpha}{r} - E + \frac{\hbar^2}{2\mu} \frac{\ell(\ell+1)}{r^2} \right] u_\ell(r) = 0$$

$$\langle r^n \rangle = \int_0^\infty r^n (u_\ell(r))^2 dr \equiv I_n^\ell(r < a) + O_n^\ell(r > a)$$

$$P_\ell = \frac{O_0^\ell}{I_0^\ell + O_0^\ell}$$



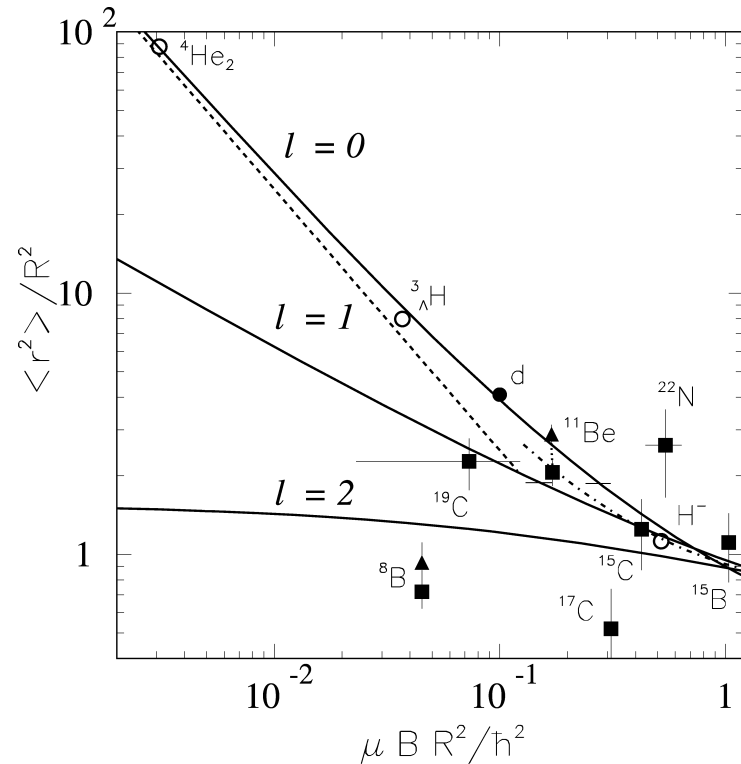
Un caso sencillo: Sistemas de dos cuerpos



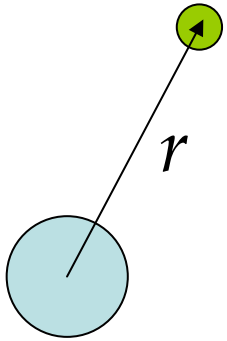
Si la interacción es central $\longrightarrow \Psi_{\ell m}(\vec{r}) = \frac{u_{\ell}(r)}{r} Y_{\ell m}(\Omega)$

$$\left[-\frac{\hbar^2}{2\mu} \frac{d^2}{dr^2} + V(r) - E + \frac{\hbar^2}{2\mu} \frac{\ell(\ell+1)}{r^2} \right] u_{\ell}(r) = 0$$

$$\langle r^n \rangle = \int_0^{\infty} r^n (u_{\ell}(r))^2 dr \equiv I_n^{\ell}(r < a) + O_n^{\ell}(r > a)$$



Un caso sencillo: Sistemas de dos cuerpos

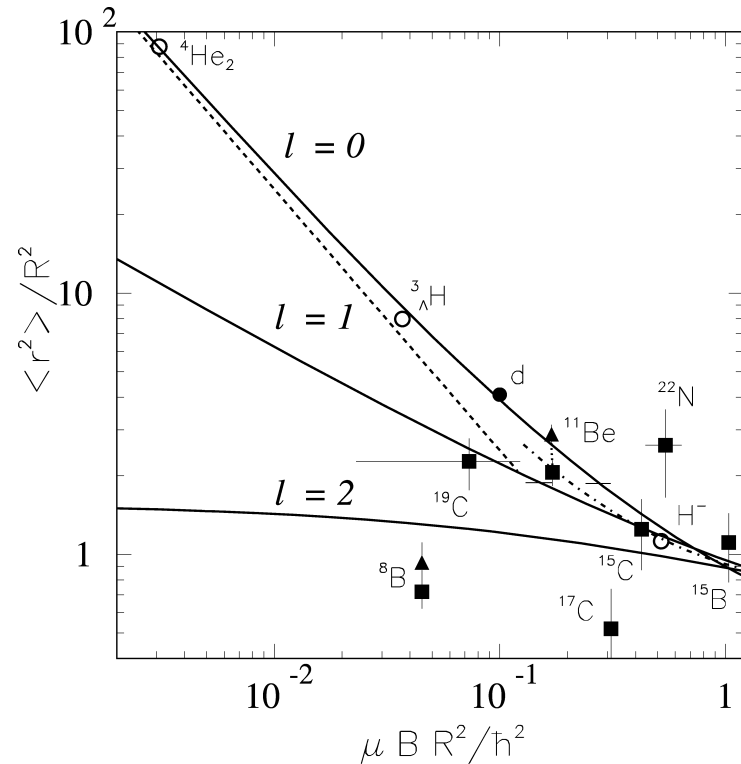


Si la interacción es central $\longrightarrow \Psi_{\ell m}(\vec{r}) = \frac{u_{\ell}(r)}{r} Y_{\ell m}(\Omega)$

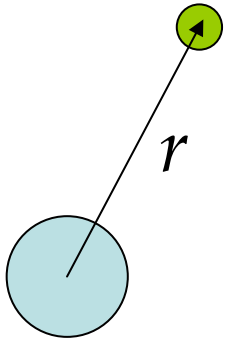
$$\left[-\frac{\hbar^2}{2\mu} \frac{d^2}{dr^2} + V(r) - E + \frac{\hbar^2}{2\mu} \frac{\ell(\ell+1)}{r^2} \right] u_{\ell}(r) = 0$$

$$\langle r^n \rangle = \int_0^{\infty} r^n (u_{\ell}(r))^2 dr \equiv I_n^{\ell}(r < a) + O_n^{\ell}(r > a)$$

Si $\ell = 0 \Rightarrow \langle r^2 \rangle = \frac{\hbar^2}{4\mu B}$



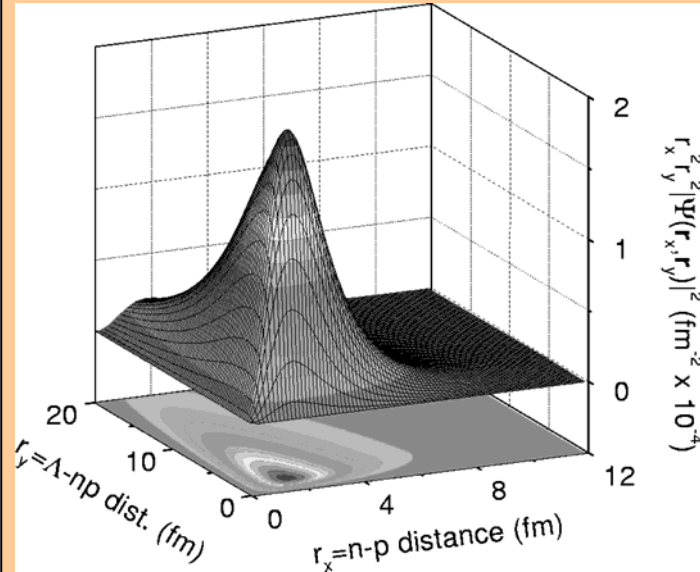
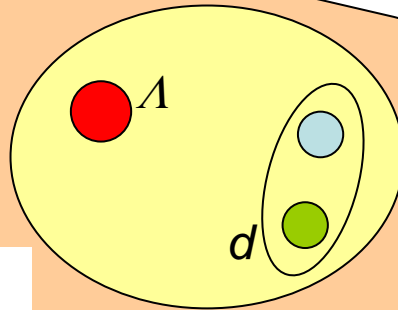
Un caso sencillo: Sistemas de dos cuerpos



Si la interacción es central $\longrightarrow \Psi_{\ell m}(\vec{r}) = \frac{u_{\ell}(r)}{r} Y_{\ell m}(\Omega)$

$$\left[-\frac{\hbar^2}{2\mu} \frac{d^2}{dr^2} + V(r) - E + \frac{\hbar^2}{2\mu} \frac{\ell(\ell+1)}{r^2} \right] u_{\ell}(r) = 0$$

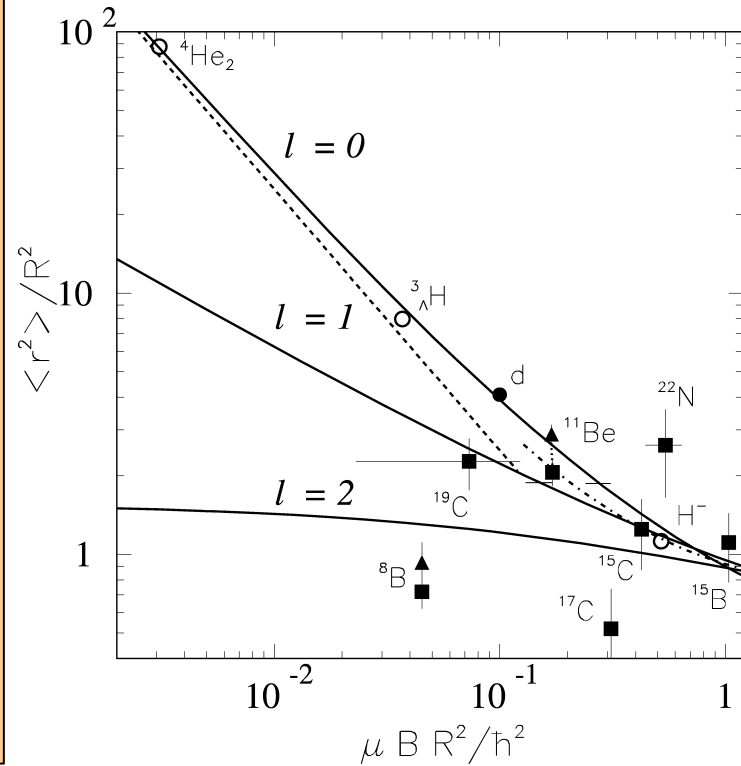
Hypertriton = $n + p + \Lambda$



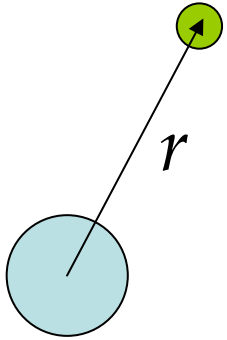
$$\langle r_{n-p}^2 \rangle^{1/2} = 1.97 \text{ fm}$$

$$\langle r_{\Lambda-d}^2 \rangle^{1/2} = 11.7 \text{ fm}$$

$$S_{\Lambda} = 0.13 \pm 0.05 \text{ MeV}$$



Un caso sencillo: Sistemas de dos cuerpos



Si la interacción es central $\longrightarrow \Psi_{\ell m}(\vec{r}) = \frac{u_{\ell}(r)}{r} Y_{\ell m}(\Omega)$

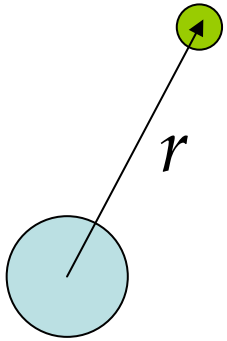
$$\left[-\frac{\hbar^2}{2\mu} \frac{d^2}{dr^2} + V(r) - E + \frac{\hbar^2}{2\mu} \frac{\ell(\ell+1)}{r^2} \right] u_{\ell}(r) = 0$$

¿Sistemas de N cuerpos?

Coordenadas $\Rightarrow (\rho, \alpha_1, \alpha_2, \alpha_3, \dots, \alpha_{3N-4})$

$$m\rho^2 = \sum_{i < k} \frac{m_i m_k}{M} (\vec{r}_i - \vec{r}_k)^2$$

Un caso sencillo: Sistemas de dos cuerpos



Si la interacción es central $\longrightarrow \Psi_{\ell m}(\vec{r}) = \frac{u_{\ell}(r)}{r} Y_{\ell m}(\Omega)$

$$\left[-\frac{\hbar^2}{2\mu} \frac{d^2}{dr^2} + V(r) - E + \frac{\hbar^2}{2\mu} \frac{\ell(\ell+1)}{r^2} \right] u_{\ell}(r) = 0$$

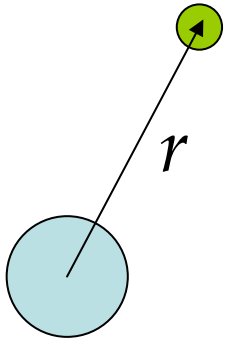
¿Sistemas de N cuerpos?

Coordenadas $\Rightarrow (\rho, \alpha_1, \alpha_2, \alpha_3, \dots, \alpha_{3N-4})$ $m\rho^2 = \sum_{i < k} \frac{m_i m_k}{M} (\vec{r}_i - \vec{r}_k)^2$

$$\text{Barrera} \Rightarrow \frac{\hbar^2}{2m} \frac{(3N-4)(3N-6)}{4\rho^2}$$

¡¡ Incluso si solamente hay ondas s !!

Un caso sencillo: Sistemas de dos cuerpos



Si la interacción es central $\longrightarrow \Psi_{\ell m}(\vec{r}) = \frac{u_{\ell}(r)}{r} Y_{\ell m}(\Omega)$

$$\left[-\frac{\hbar^2}{2\mu} \frac{d^2}{dr^2} + V(r) - E + \frac{\hbar^2}{2\mu} \frac{\ell(\ell+1)}{r^2} \right] u_{\ell}(r) = 0$$

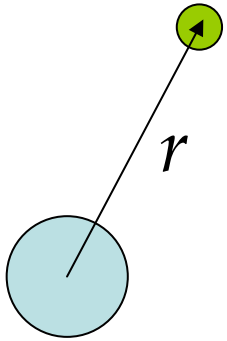
¿Sistemas de N cuerpos?

Coordenadas $\Rightarrow (\rho, \alpha_1, \alpha_2, \alpha_3, \dots, \alpha_{3N-4})$ $m\rho^2 = \sum_{i < k} \frac{m_i m_k}{M} (\vec{r}_i - \vec{r}_k)^2$

$$\text{Barrera} \Rightarrow \frac{\hbar^2}{2m} \frac{(3N-4)(3N-6)}{4\rho^2} \equiv \frac{\hbar^2}{2m} \frac{\ell^*(\ell^*+1)}{\rho^2} \text{ donde } \ell^* = \frac{3N-6}{2}$$

¡¡ Incluso si solamente hay ondas s !!

Un caso sencillo: Sistemas de dos cuerpos



Si la interacción es central $\longrightarrow \Psi_{\ell m}(\vec{r}) = \frac{u_{\ell}(r)}{r} Y_{\ell m}(\Omega)$

$$\left[-\frac{\hbar^2}{2\mu} \frac{d^2}{dr^2} + V(r) - E + \frac{\hbar^2}{2\mu} \frac{\ell(\ell+1)}{r^2} \right] u_{\ell}(r) = 0$$

¿Sistemas de N cuerpos?

Coordenadas $\Rightarrow (\rho, \alpha_1, \alpha_2, \alpha_3, \dots, \alpha_{3N-4})$ $m\rho^2 = \sum_{i < k} \frac{m_i m_k}{M} (\vec{r}_i - \vec{r}_k)^2$

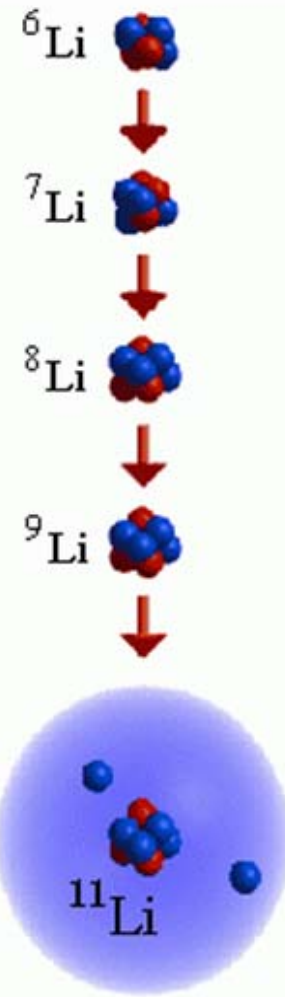
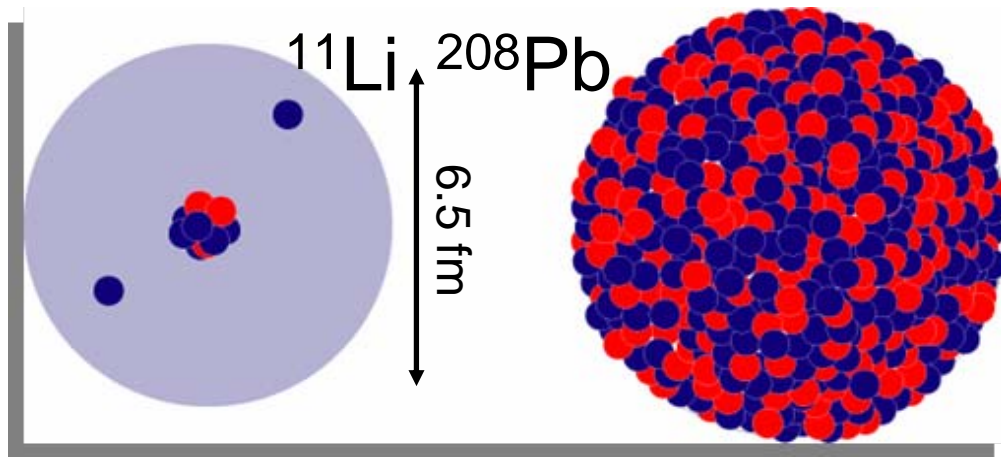
$$\text{Barrera} \Rightarrow \frac{\hbar^2}{2m} \frac{(3N-4)(3N-6)}{4\rho^2} \equiv \frac{\hbar^2}{2m} \frac{\ell^*(\ell^*+1)}{\rho^2} \text{ donde } \ell^* = \frac{3N-6}{2}$$

$$\ell^* < 2 \Rightarrow N < \frac{10}{3} \Rightarrow \text{No más de 3 partículas!!}$$

Núcleos Ligeros en las “driplines”: Núcleos de Borromeo

Núcleos con halo:

- ✓ Sistemas que “clusterizan”
- ✓ Sistemas poco ligados
- ✓ Especialmente muy extensos
- ✓ Se extienden a la zona prohibida “clásicamente”



Núcleos Ligeros en las “driplines”: Núcleos de Borromeo

Núcleos con halo:

- ✓ Sistemas que “clusterizan”
- ✓ Sistemas poco ligados
- ✓ Especialmente muy extensos
- ✓ Se extienden a la zona prohibida “clásicamente”

Además:

- ✓ $\ell = 0, 1$ favorece la formación del halo
- ✓ Los protones tienen menos tendencia a formar halo
- ✓ Halos en sistemas de más de 3 partículas son menos probables

${}^6\text{Li}$



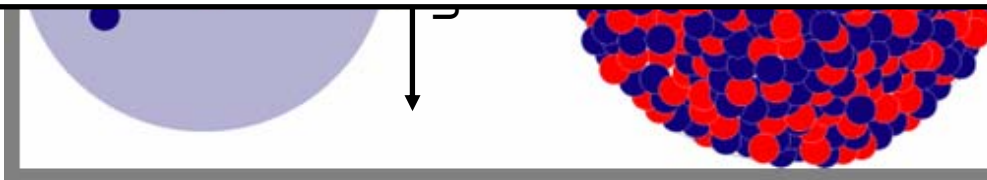
${}^7\text{Li}$



${}^8\text{Li}$



${}^9\text{Li}$



Evidencias experimentales: Radios

Radios

$$\sigma_I = \pi(R_T + R_P)^2$$

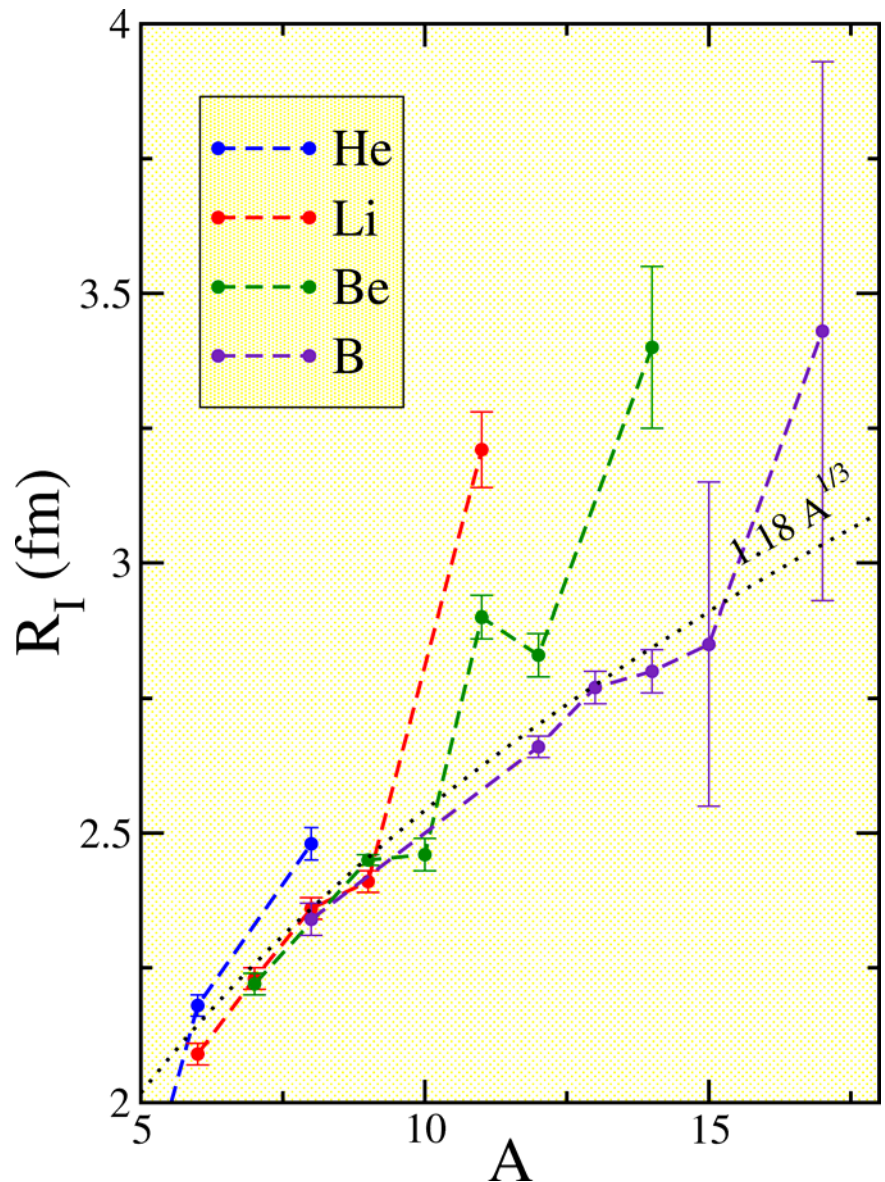
Proy.	σ_I (mb)	R_P (fm)
^4He		1.41 ± 0.03
^6He		2.18 ± 0.02
^8He		2.48 ± 0.03
^6Li	688 ± 10	2.09 ± 0.02
^7Li	736 ± 6	2.23 ± 0.02
^8Li	768 ± 9	2.36 ± 0.02
^9Li	796 ± 6	2.41 ± 0.02
^{11}Li	1040 ± 60	3.14 ± 0.16
^7Be	738 ± 9	2.22 ± 0.02
^9Be	806 ± 9	2.45 ± 0.01
^{10}Be	813 ± 10	2.46 ± 0.03
^{11}Be		2.73 ± 0.05
^{14}Be	1109 ± 69	3.16 ± 0.38

Evidencias experimentales: Radios

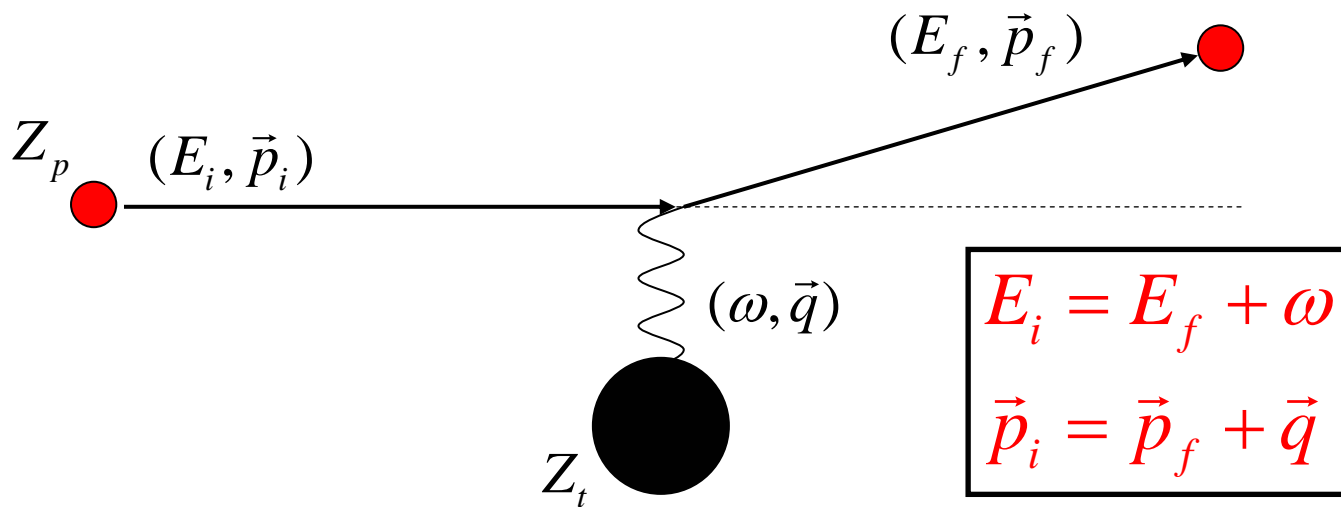
Radios

$$\sigma_I = \pi(R_T + R_P)^2$$

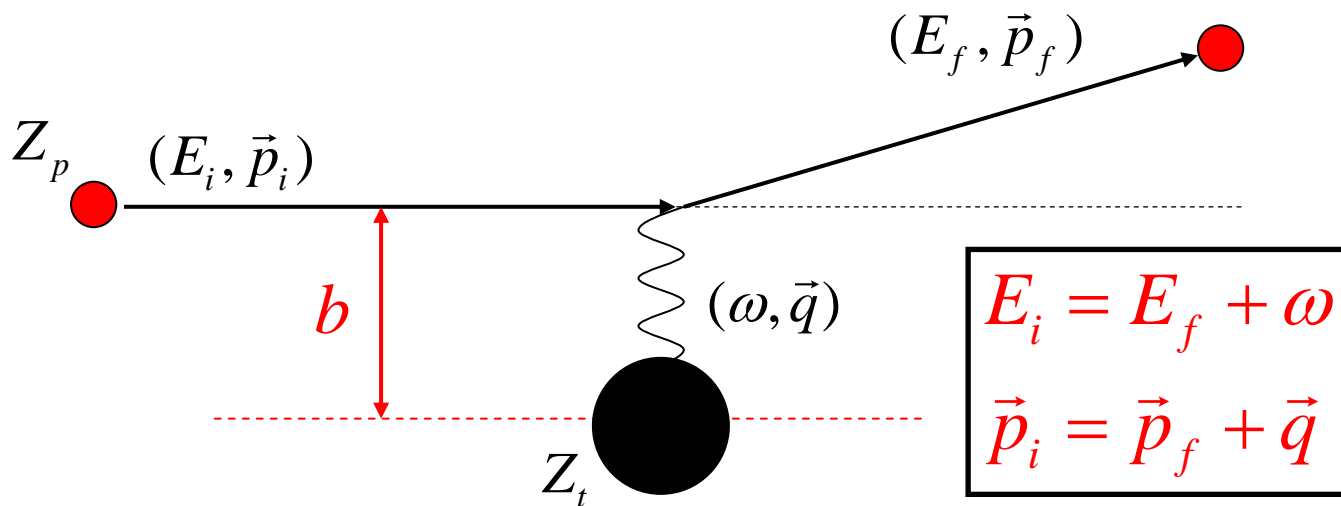
Proy.	σ_I (mb)	R_P (fm)
^4He		1.41 ± 0.03
^6He		2.18 ± 0.02
^8He		2.48 ± 0.03
^6Li	688 ± 10	2.09 ± 0.02
^7Li	736 ± 6	2.23 ± 0.02
^8Li	768 ± 9	2.36 ± 0.02
^9Li	796 ± 6	2.41 ± 0.02
^{11}Li	1040 ± 60	3.14 ± 0.16
^7Be	738 ± 9	2.22 ± 0.02
^9Be	806 ± 9	2.45 ± 0.01
^{10}Be	813 ± 10	2.46 ± 0.03
^{11}Be		2.73 ± 0.05
^{14}Be	1109 ± 69	3.16 ± 0.38



Evidencias experimentales: Disociación Coulombiana

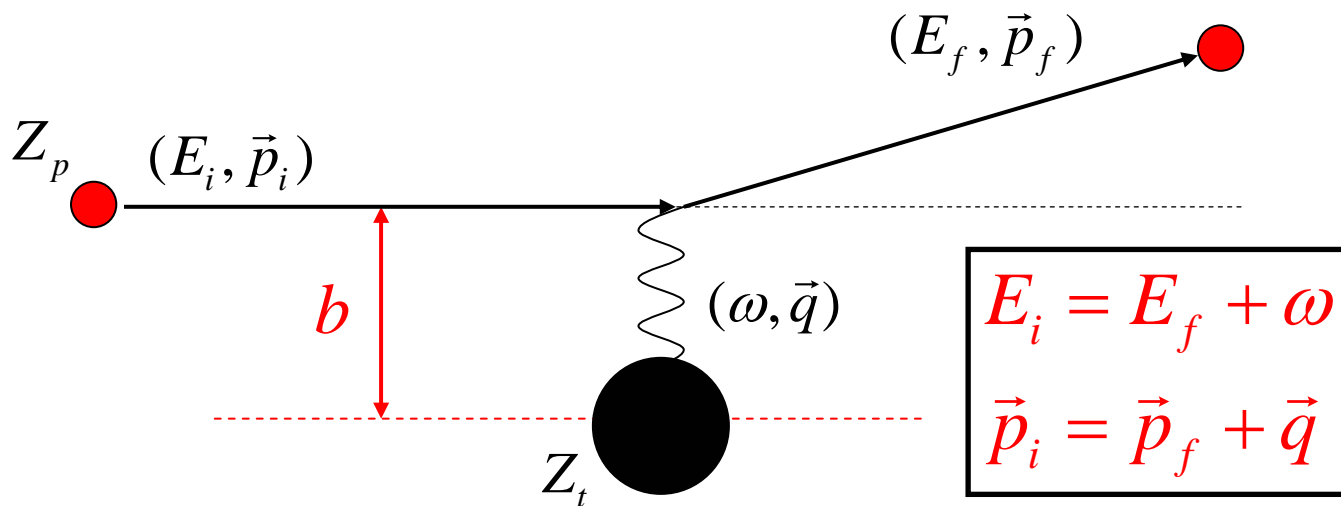


Evidencias experimentales: Disociación Coulombiana



$$b = \frac{Z_p Z_t e^2}{q} \frac{p_i}{T_i}$$

Evidencias experimentales: Disociación Coulombiana



$$b = \frac{Z_p Z_t e^2}{q} \frac{p_i}{T_i}$$

Si q es suficientemente pequeño ($q < q_{\max}$)

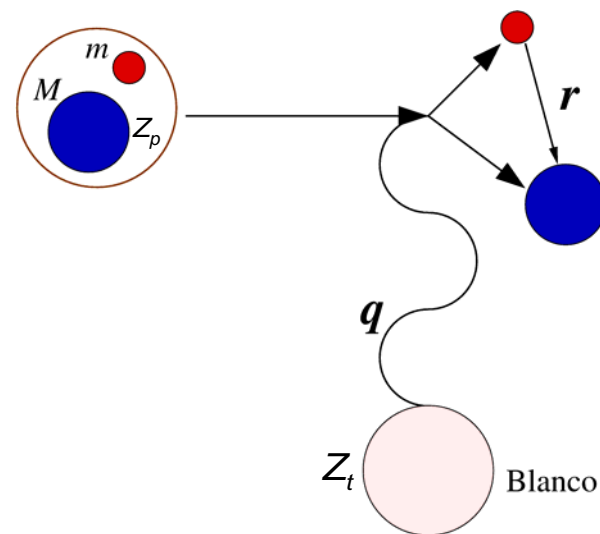
entonces $b > R_p + R_t$



Sólo interacción Coulombiana

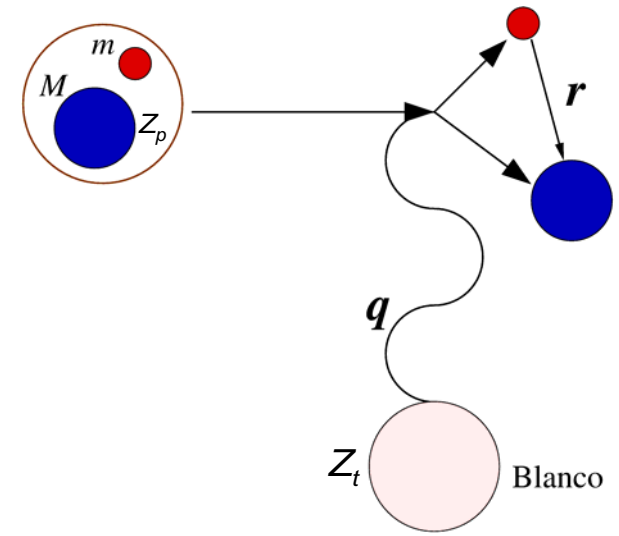
$$q_{\max} = \frac{Z_p Z_t e^2}{R_p + R_t} \frac{p_i}{T_i}$$

Evidencias experimentales: Disociación Coulombiana



Evidencias experimentales: Disociación Coulombiana

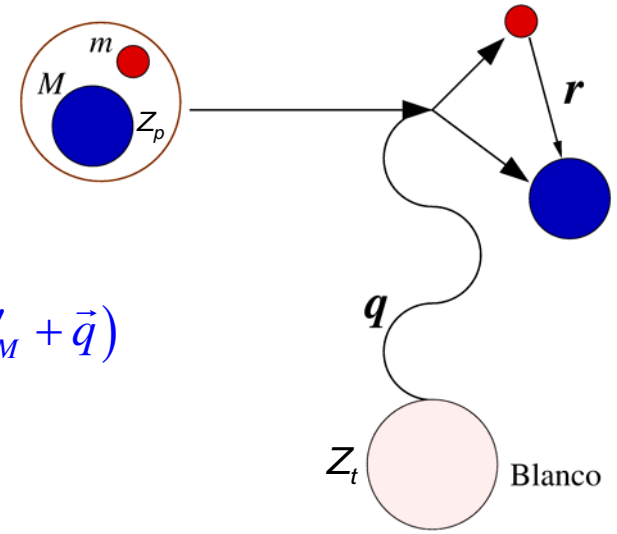
$$\vec{p}_r = \mu \left(\frac{\vec{p}_M}{M} - \frac{\vec{p}_m}{m} \right)$$
$$\vec{p}'_r = \mu \left(\frac{\vec{p}'_M}{M} - \frac{\vec{p}'_m}{m} \right)$$



Evidencias experimentales: Disociación Coulombiana

$$\vec{p}_r = \mu \left(\frac{\vec{p}_M}{M} - \frac{\vec{p}_m}{m} \right)$$
$$\vec{p}'_r = \mu \left(\frac{\vec{p}'_M}{M} - \frac{\vec{p}'_m}{m} \right) = \mu \left(\frac{\vec{p}_M - \vec{q}}{M} - \frac{\vec{p}_m}{m} \right)$$

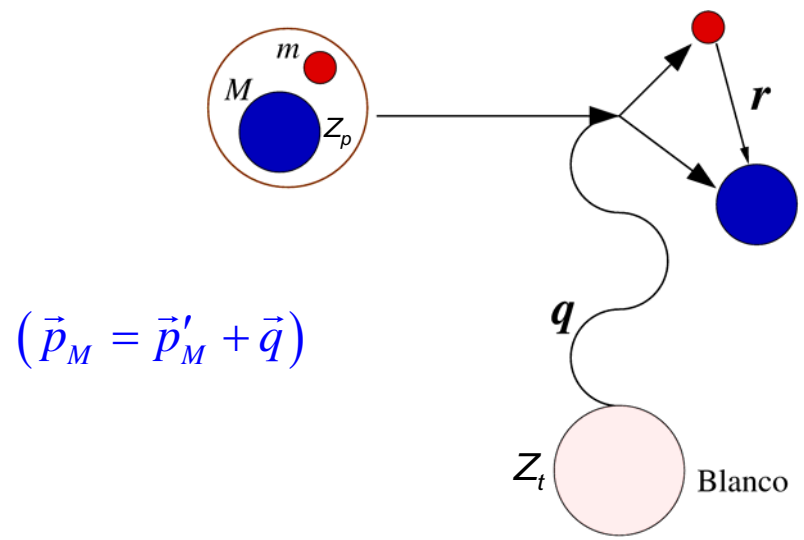
$$(\vec{p}_M = \vec{p}'_M + \vec{q})$$



Evidencias experimentales: Disociación Coulombiana

$$\vec{p}_r = \mu \left(\frac{\vec{p}_M}{M} - \frac{\vec{p}_m}{m} \right)$$
$$\vec{p}'_r = \mu \left(\frac{\vec{p}'_M}{M} - \frac{\vec{p}'_m}{m} \right) = \mu \left(\frac{\vec{p}_M - \vec{q}}{M} - \frac{\vec{p}_m}{m} \right)$$

$$\Delta \vec{p}_r = \vec{p}_r - \vec{p}'_r = \frac{m}{m+M} \vec{q}$$



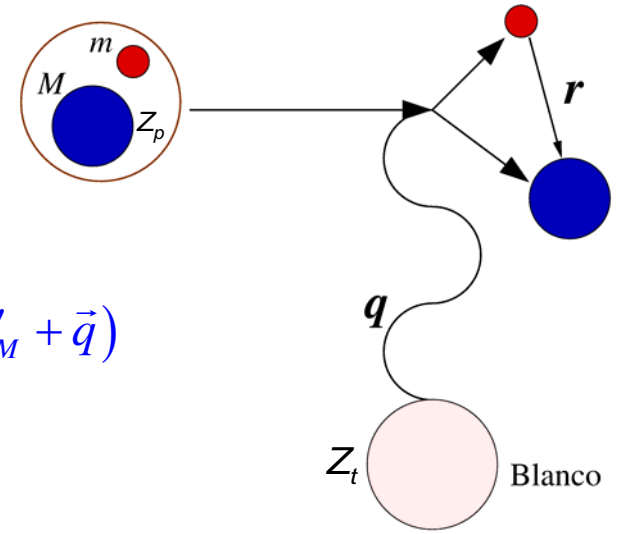
Evidencias experimentales: Disociación Coulombiana

$$\vec{p}_r = \mu \left(\frac{\vec{p}_M}{M} - \frac{\vec{p}_m}{m} \right)$$

$$\vec{p}'_r = \mu \left(\frac{\vec{p}'_M}{M} - \frac{\vec{p}'_m}{m} \right) = \mu \left(\frac{\vec{p}_M - \vec{q}}{M} - \frac{\vec{p}_m}{m} \right)$$

$$(\vec{p}_M = \vec{p}'_M + \vec{q})$$

$$\Delta \vec{p}_r = \vec{p}_r - \vec{p}'_r = \frac{m}{m+M} \vec{q}$$



En un proceso elástico $\Rightarrow \Psi_{\text{final}}(\vec{r}) = e^{i\Delta \vec{p}_r \cdot \vec{r}} \Psi(\vec{r})$

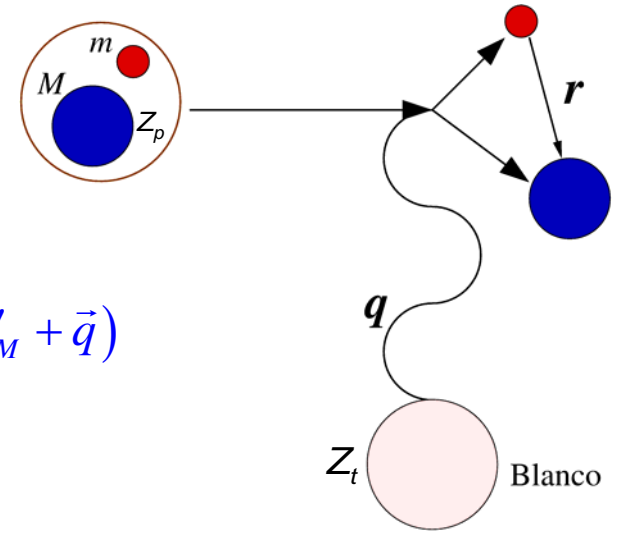
$$P_{\text{elas}} = \left| \langle \Psi(\vec{r}) | e^{i\Delta \vec{p}_r \cdot \vec{r}} | \Psi(\vec{r}) \rangle \right|^2$$

Evidencias experimentales: Disociación Coulombiana

$$\vec{p}_r = \mu \left(\frac{\vec{p}_M}{M} - \frac{\vec{p}_m}{m} \right)$$

$$\vec{p}'_r = \mu \left(\frac{\vec{p}'_M}{M} - \frac{\vec{p}'_m}{m} \right) = \mu \left(\frac{\vec{p}_M - \vec{q}}{M} - \frac{\vec{p}_m}{m} \right) \quad (\vec{p}_M = \vec{p}'_M + \vec{q})$$

$$\Delta\vec{p}_r = \vec{p}_r - \vec{p}'_r = \frac{m}{m+M} \vec{q}$$



$$\Delta\vec{p}_r \cdot \vec{r} \ll 1 \Rightarrow e^{i\Delta\vec{p}_r \cdot \vec{r}} \approx 1 + i\Delta\vec{p}_r \cdot \vec{r} - \frac{1}{2}(\Delta\vec{p}_r \cdot \vec{r})^2 + \dots$$

$$P_{\text{elas}} = \left| \langle \Psi(\vec{r}) | e^{i\Delta\vec{p}_r \cdot \vec{r}} | \Psi(\vec{r}) \rangle \right|^2$$

Evidencias experimentales: Disociación Coulombiana

$$\vec{p}_r = \mu \left(\frac{\vec{p}_M}{M} - \frac{\vec{p}_m}{m} \right)$$

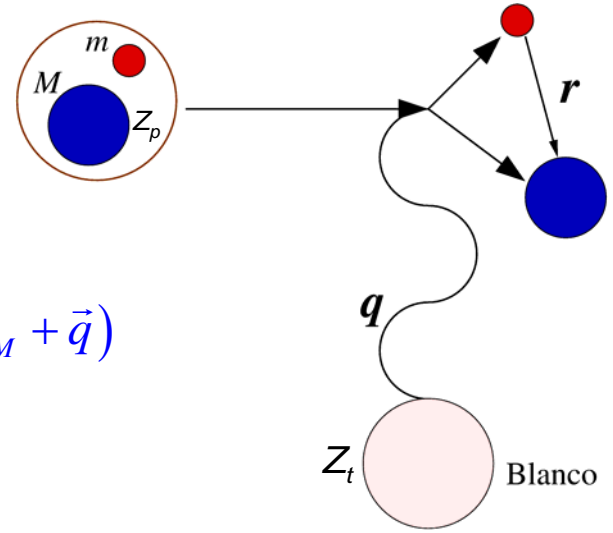
$$\vec{p}'_r = \mu \left(\frac{\vec{p}'_M}{M} - \frac{\vec{p}'_m}{m} \right) = \mu \left(\frac{\vec{p}_M - \vec{q}}{M} - \frac{\vec{p}_m}{m} \right) \quad (\vec{p}_M = \vec{p}'_M + \vec{q})$$

$$\Delta \vec{p}_r = \vec{p}_r - \vec{p}'_r = \frac{m}{m+M} \vec{q}$$

$$P_{\text{elas}} \approx 1 - (\Delta p_r)^2 \langle r^2 \rangle = 1 - \frac{m^2}{(m+M)^2} q^2 \langle r^2 \rangle$$

$$\Delta \vec{p}_r \cdot \vec{r} \ll 1 \Rightarrow e^{i\Delta \vec{p}_r \cdot \vec{r}} \approx 1 + i\Delta \vec{p}_r \cdot \vec{r} - \frac{1}{2} (\Delta \vec{p}_r \cdot \vec{r})^2 + \dots$$

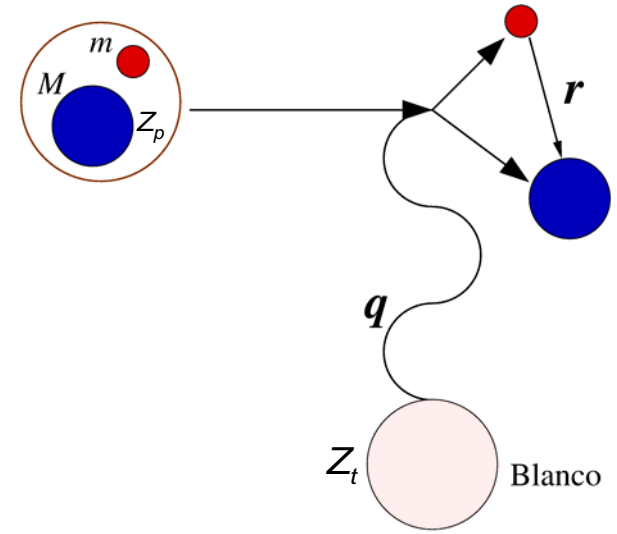
$$P_{\text{elas}} = \left| \langle \Psi(\vec{r}) | e^{i\Delta \vec{p}_r \cdot \vec{r}} | \Psi(\vec{r}) \rangle \right|^2$$



Evidencias experimentales: Disociación Coulombiana

Si sólo un estado ligado: $P_{\text{dis}} = 1 - P_{\text{elas}}$

$$P_{\text{dis}} = 1 - P_{\text{elas}} = \frac{m^2}{(m + M)^2} q^2 \langle r^2 \rangle$$



$$P_{\text{elas}} \approx 1 - (\Delta p_r)^2 \langle r^2 \rangle = 1 - \frac{m^2}{(m + M)^2} q^2 \langle r^2 \rangle$$

$$\Delta \vec{p}_r \cdot \vec{r} \ll 1 \Rightarrow e^{i\Delta \vec{p}_r \cdot \vec{r}} \approx 1 + i\Delta \vec{p}_r \cdot \vec{r} - \frac{1}{2} (\Delta \vec{p}_r \cdot \vec{r})^2 + \dots$$

$$P_{\text{elas}} = \left| \langle \Psi(\vec{r}) | e^{i\Delta \vec{p}_r \cdot \vec{r}} | \Psi(\vec{r}) \rangle \right|^2$$

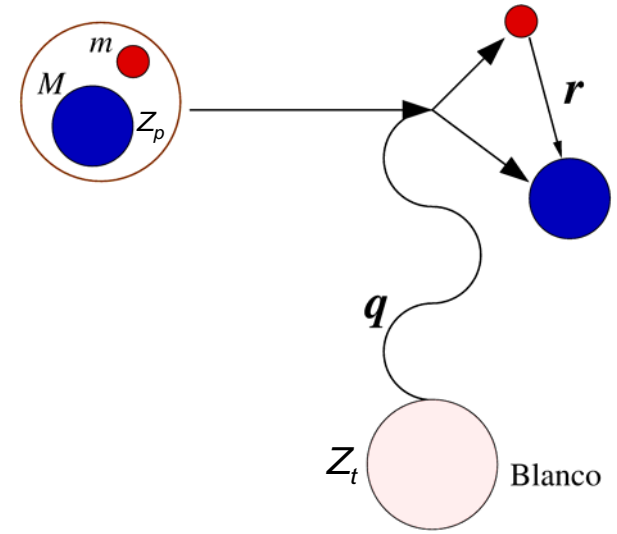
Evidencias experimentales: Disociación Coulombiana

Si sólo un estado ligado: $P_{\text{dis}} = 1 - P_{\text{elas}}$

$$P_{\text{dis}} = 1 - P_{\text{elas}} = \frac{m^2}{(m + M)^2} q^2 \langle r^2 \rangle$$

$$\frac{d\sigma_d}{dq} = \frac{8\pi (Z_p Z_t e^2)^2}{v^2} \frac{1}{q^3} \frac{m^2}{(m + M)^2} q^2 \langle r^2 \rangle$$

Sección eficaz de Rutherford



Evidencias experimentales: Disociación Coulombiana

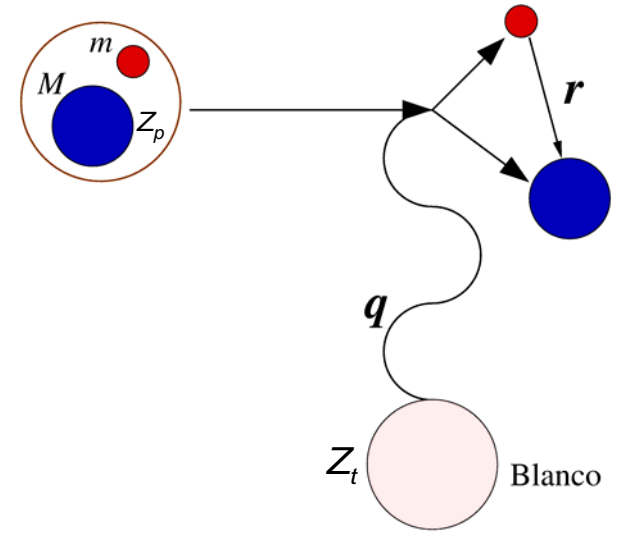
Si sólo un estado ligado: $P_{\text{dis}} = 1 - P_{\text{elas}}$

$$P_{\text{dis}} = 1 - P_{\text{elas}} = \frac{m^2}{(m + M)^2} q^2 \langle r^2 \rangle$$

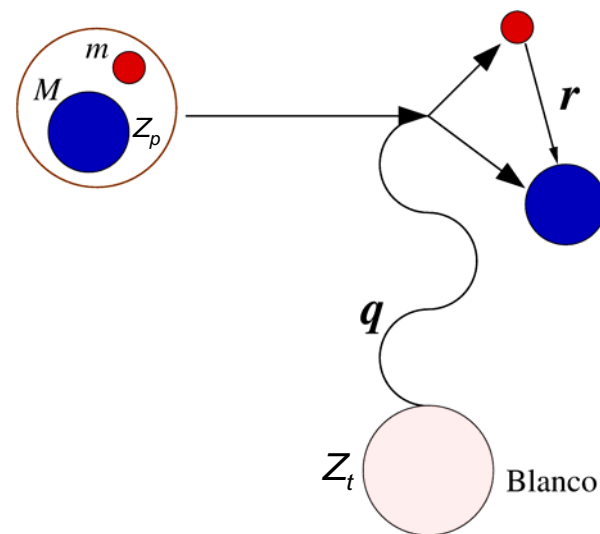
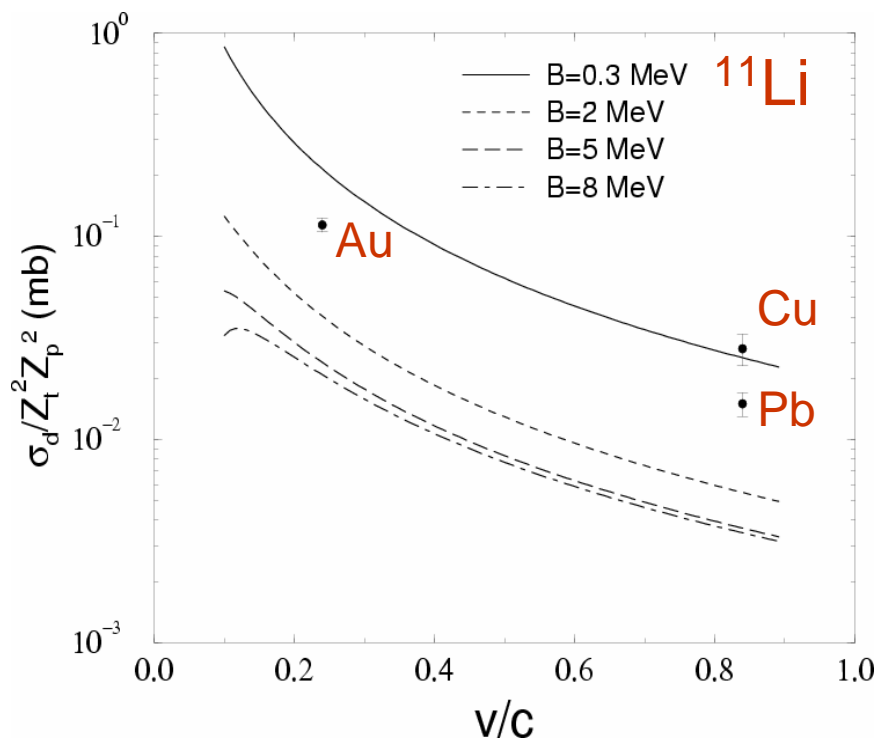
$$\frac{d\sigma_d}{dq} = \frac{8\pi (Z_p Z_t e^2)^2}{v^2} \frac{1}{q^3} \frac{m^2}{(m + M)^2} q^2 \langle r^2 \rangle$$

Sección eficaz de disociación Coulombiana

$$\frac{d\sigma_d}{dq} = \frac{8\pi (Z_p Z_t e^2)^2}{v^2} \frac{m^2}{(m + M)^2} \frac{\langle r^2 \rangle}{q}$$



Evidencias experimentales: Disociación Coulombiana

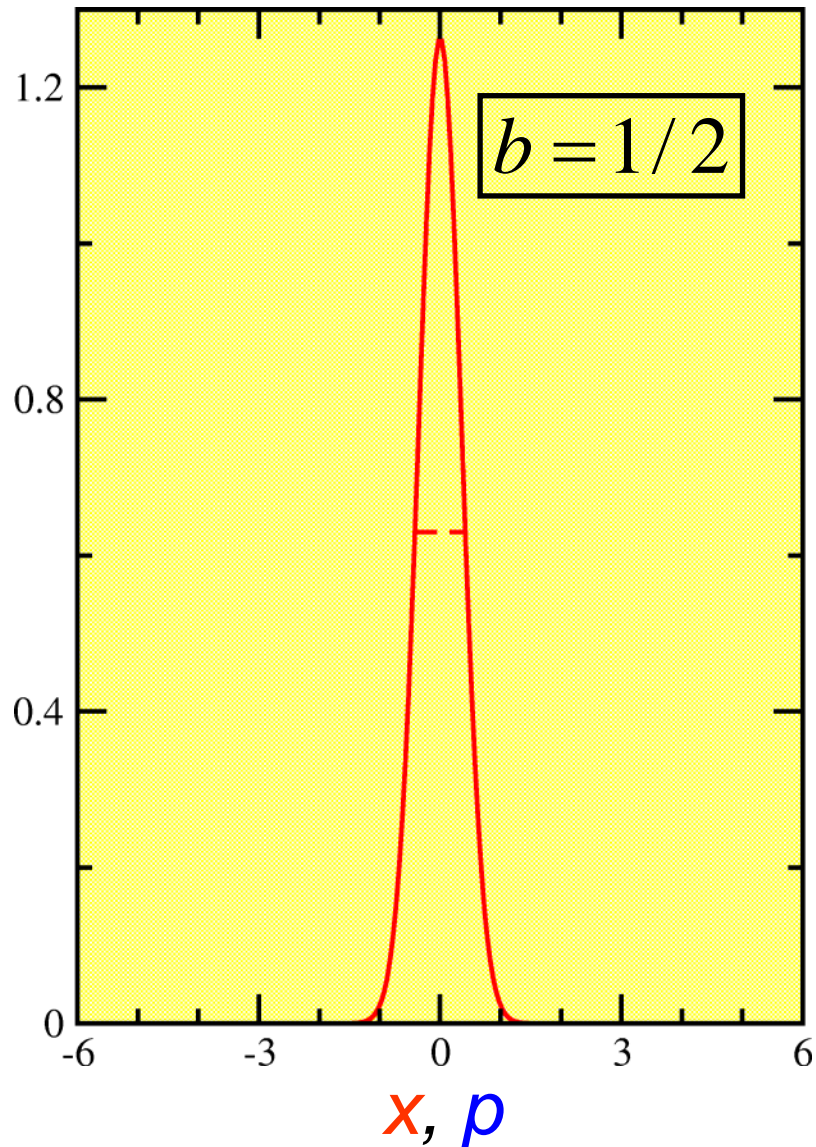


Sección eficaz de disociación Coulombiana

$$\frac{d\sigma_d}{dq} = \frac{8\pi (Z_p Z_t e^2)^2}{v^2} \frac{m^2}{(m+M)^2} \frac{\langle r^2 \rangle}{q}$$

$$q_{\min} < q < q_{\max}$$

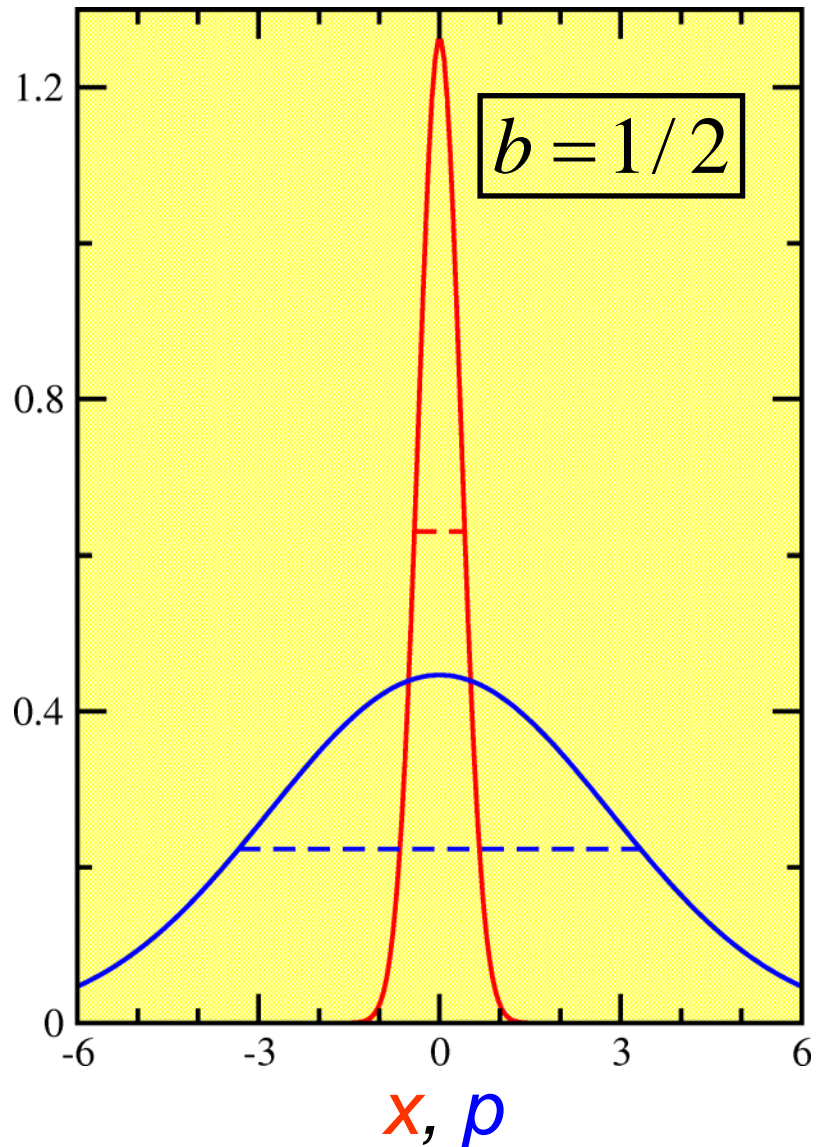
Evidencias experimentales: Distribuciones de momentos



$$\Gamma_x = 2b\sqrt{\ln 2}$$

$$\Psi(x) = \left(\frac{2}{\pi} \frac{1}{b^2}\right)^{\frac{1}{4}} \exp\left(-\frac{x^2}{b^2}\right)$$

Evidencias experimentales: Distribuciones de momentos



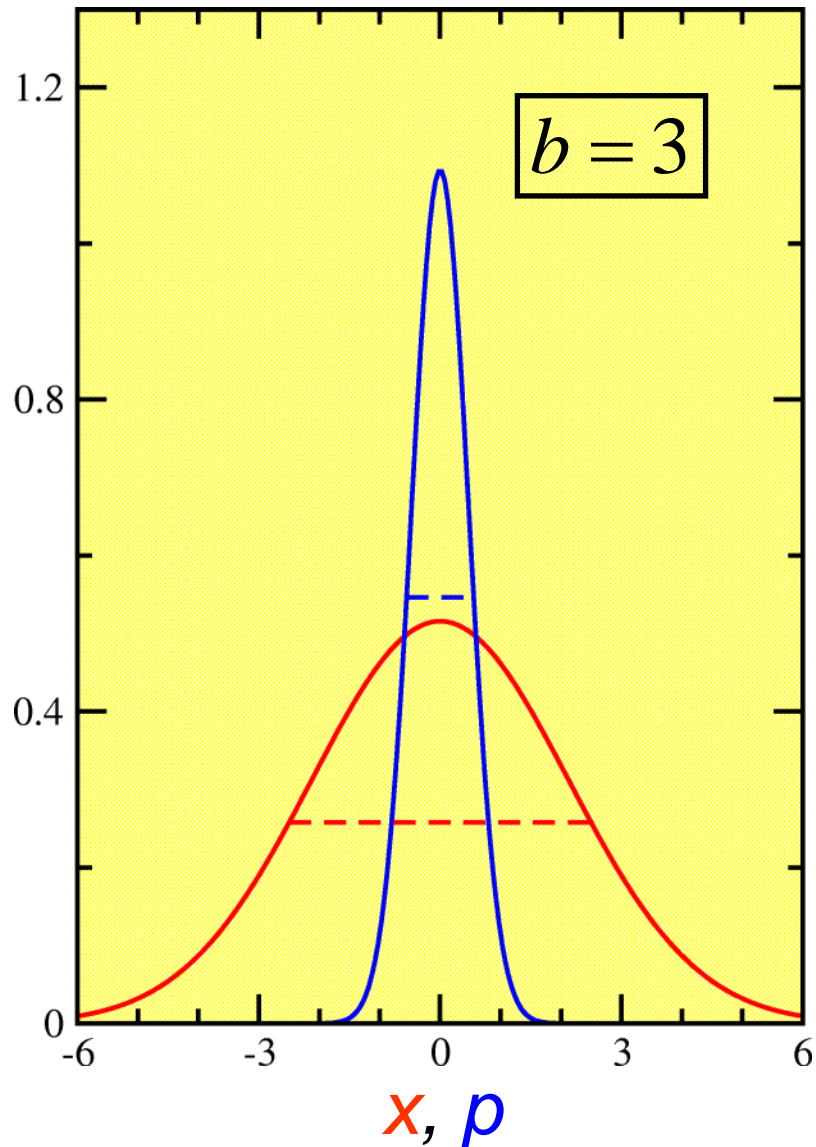
$$\Psi(p) = \left(\frac{2 b^2}{\pi 4} \right)^{\frac{1}{4}} \exp\left(-p^2 \frac{b^2}{4} \right)$$

$$\Gamma_p = \frac{4}{b} \sqrt{\ln 2}$$

$$\Gamma_x = 2b \sqrt{\ln 2}$$

$$\Psi(x) = \left(\frac{2}{\pi b^2} \right)^{\frac{1}{4}} \exp\left(-\frac{x^2}{b^2} \right)$$

Evidencias experimentales: Distribuciones de momentos



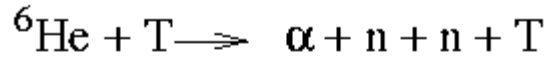
$$\Psi(p) = \left(\frac{2 b^2}{\pi 4} \right)^{\frac{1}{4}} \exp\left(-p^2 \frac{b^2}{4} \right)$$

$$\Gamma_p = \frac{4}{b} \sqrt{\ln 2}$$

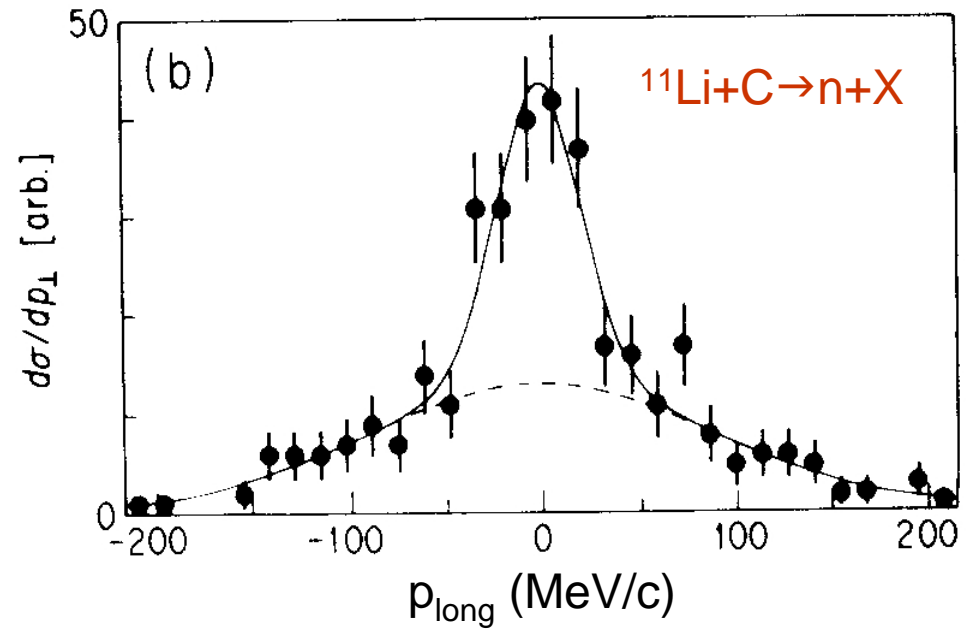
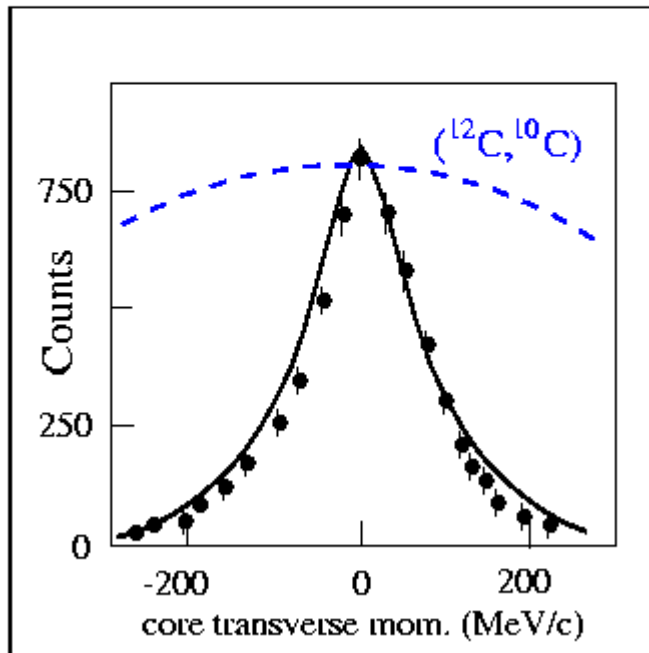
$$\Gamma_x = 2b \sqrt{\ln 2}$$

$$\Psi(x) = \left(\frac{2}{\pi b^2} \right)^{\frac{1}{4}} \exp\left(-\frac{x^2}{b^2} \right)$$

Evidencias experimentales: Distribuciones de momentos



@ 400 MeV/u



Reacciones de fragmentación

“SUDDEN APPROXIMATION”

Si la energía del proyectil es suficientemente alta

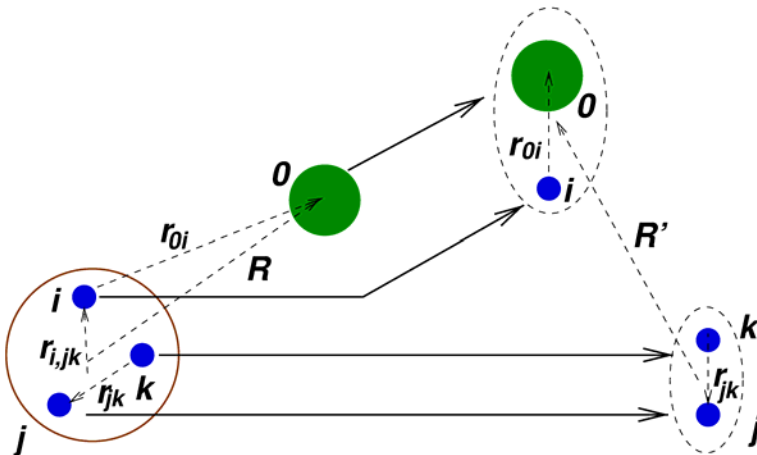
sólo un constituyente interacciona con el blanco, siendo arrancado del mismo

Reacciones de fragmentación en blancos ligeros (No Coulomb)

“SUDDEN APPROXIMATION”

Si la energía del proyectil es suficientemente alta

sólo un constituyente interacciona con el blanco, siendo arrancado del mismo

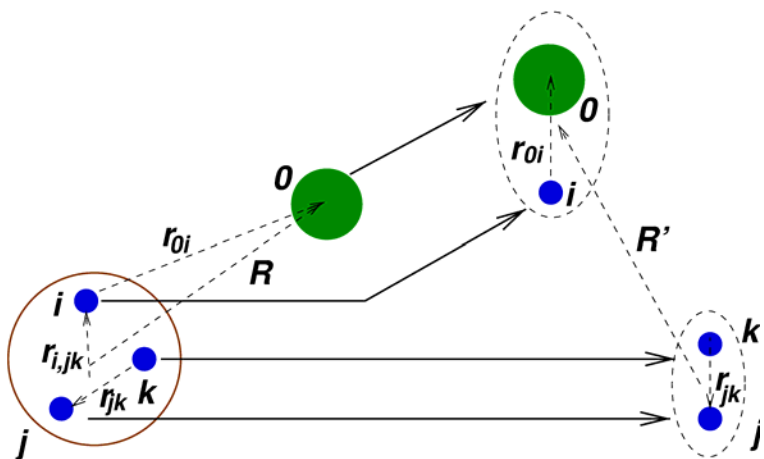


Reacciones de fragmentación en blancos ligeros (No Coulomb)

“SUDDEN APPROXIMATION”

Si la energía del proyectil es suficientemente alta

sólo un constituyente interacciona con el blanco, siendo arrancado del mismo



$$T^{(i)} = \left\langle \Phi_{p'_{0i} \sigma'_i}^{(0i)} \Phi_{p'_{jk} s_{jk} \sigma_{jk}}^{(jk)} e^{i\vec{p}' \cdot \vec{R}'} \left| V_{0i} \right| \Psi^{JM} e^{i\vec{P} \cdot \vec{R}} \right\rangle$$

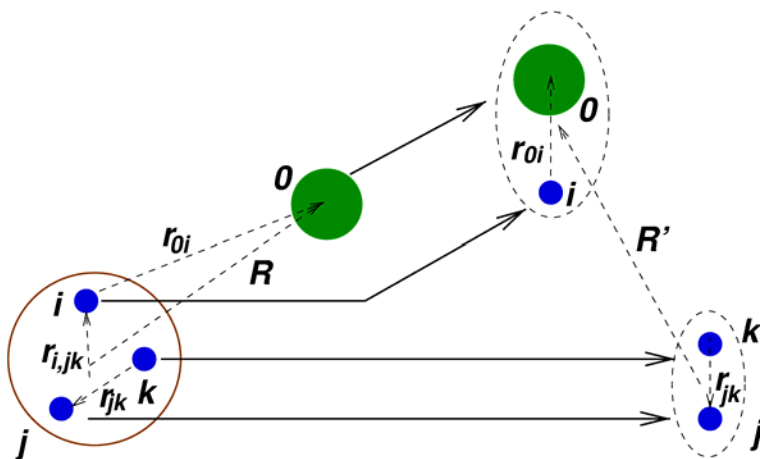
$$T^{(i)} = \sum_{\sigma_i} T_{\sigma_i \sigma_i}^{(0i)} \left\langle \Phi_{p'_{jk} s_{jk} \sigma_{jk}}^{(jk)} e^{i\vec{p}_{i,jk} \cdot \vec{r}_{i,jk}} \chi_{s_i \sigma_i} \left| \Psi^{JM} \right. \right\rangle$$

Reacciones de fragmentación en blancos ligeros (No Coulomb)

“SUDDEN APPROXIMATION”

Si la energía del proyectil es suficientemente alta

sólo un constituyente interacciona con el blanco, siendo arrancado del mismo



$$T^{(i)} = \left\langle \Phi_{p'_{0i}\sigma'_i}^{(0i)} \Phi_{p'_{jk}s_{jk}\sigma_{jk}}^{(jk)} e^{i\vec{p}' \cdot \vec{R}'} \left| V_{0i} \right| \Psi^{JM} e^{i\vec{P} \cdot \vec{R}} \right\rangle$$

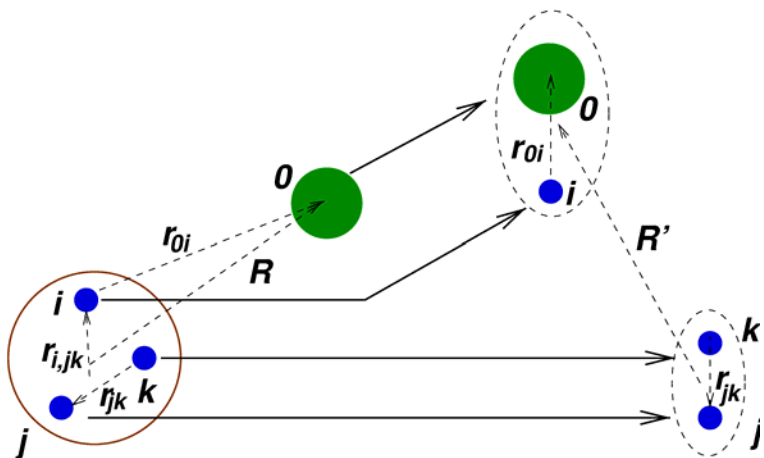
$$T^{(i)} = \sum_{\sigma_i} T_{\sigma_i \sigma_i}^{(0i)} \left\langle \Phi_{p'_{jk}s_{jk}\sigma_{jk}}^{(jk)} e^{i\vec{p}_{i,jk} \cdot \vec{r}_{i,jk}} \chi_{s_i \sigma_i} \left| \Psi^{JM} \right\rangle \right.$$

$$d\sigma^{(i)} = \frac{2\pi}{v} |T^{(i)}|^2 \delta(E'_{0i} - E_{0i}) \frac{d\vec{p}'_{0i}}{(2\pi)^3} \frac{d\vec{p}'_{jk}}{(2\pi)^3} \frac{d\vec{P}'}{(2\pi)^3}$$

Regla de oro de Fermi

Reacciones de fragmentación en blancos ligeros (No Coulomb)

$$\frac{d^6 \sigma_{(\text{elas,abs})}^{(0i)}}{d\vec{p}'_{i,jk} d\vec{p}'_{jk}} = \sigma_{(\text{elas,abs})}^{(0i)} \frac{1}{2J+1} \sum \left| \left\langle \Phi_{p'_{jk} s_{jk} \sigma_{jk}}^{(jk)} e^{i\vec{p}_{i,jk} \cdot \vec{r}_{i,jk}} \chi_{s_i \sigma_i} \mid \Psi^{JM} \right\rangle \right|^2$$



$$T^{(i)} = \left\langle \Phi_{p'_{0i} \sigma'_i}^{(0i)} \Phi_{p'_{jk} s_{jk} \sigma_{jk}}^{(jk)} e^{i\vec{p}' \cdot \vec{R}'} \mid V_{0i} \mid \Psi^{JM} e^{i\vec{P} \cdot \vec{R}} \right\rangle$$

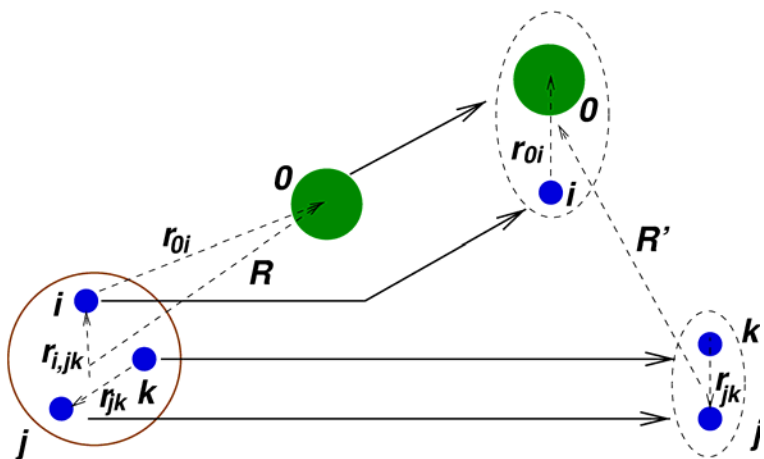
$$T^{(i)} = \sum_{\sigma_i} T_{\sigma_i \sigma_i}^{(0i)} \left\langle \Phi_{p'_{jk} s_{jk} \sigma_{jk}}^{(jk)} e^{i\vec{p}_{i,jk} \cdot \vec{r}_{i,jk}} \chi_{s_i \sigma_i} \mid \Psi^{JM} \right\rangle$$

$$d\sigma^{(i)} = \frac{2\pi}{v} |T^{(i)}|^2 \delta(E'_{0i} - E_{0i}) \frac{d\vec{p}'_{0i}}{(2\pi)^3} \frac{d\vec{p}'_{jk}}{(2\pi)^3} \frac{d\vec{P}'}{(2\pi)^3}$$

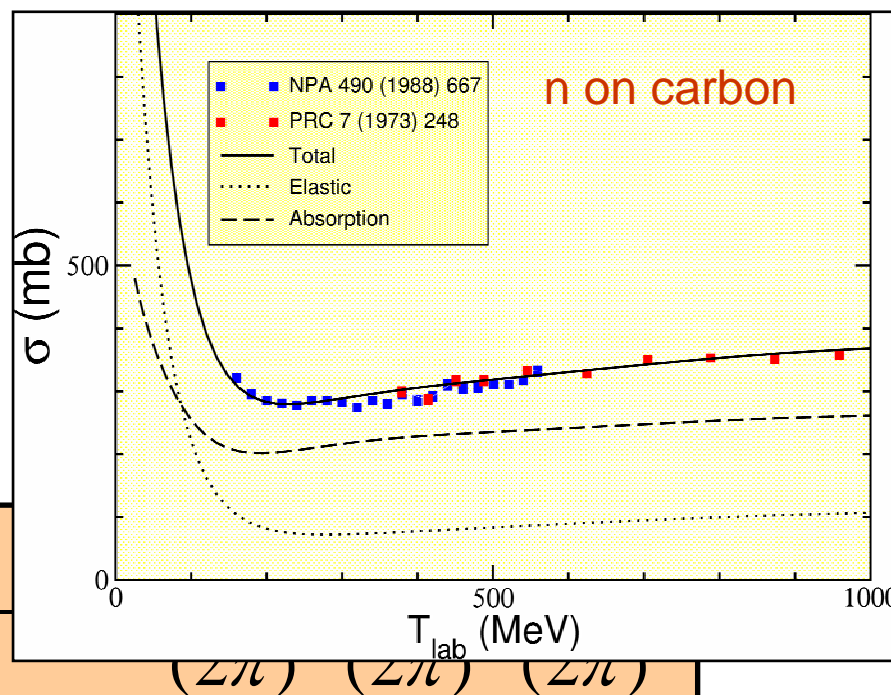
Regla de oro de Fermi

Reacciones de fragmentación en blancos ligeros (No Coulomb)

$$\frac{d^6 \sigma_{(\text{elas,abs})}^{(0i)}}{d\vec{p}'_{i,jk} d\vec{p}'_{jk}} = \sigma_{(\text{elas,abs})}^{(0i)} \frac{1}{2J+1} \sum \left| \left\langle \Phi_{P'_{jk} S_{jk} \sigma_{jk}}^{(jk)} e^{i\vec{p}_{i,jk} \cdot \vec{r}_{i,jk}} \chi_{S_i \sigma_i} \mid \Psi^{JM} \right\rangle \right|^2$$



$$d\sigma^{(i)} = \frac{2\pi}{v} |T^{(i)}|^2 \delta(E'_{0i} - E_0)$$

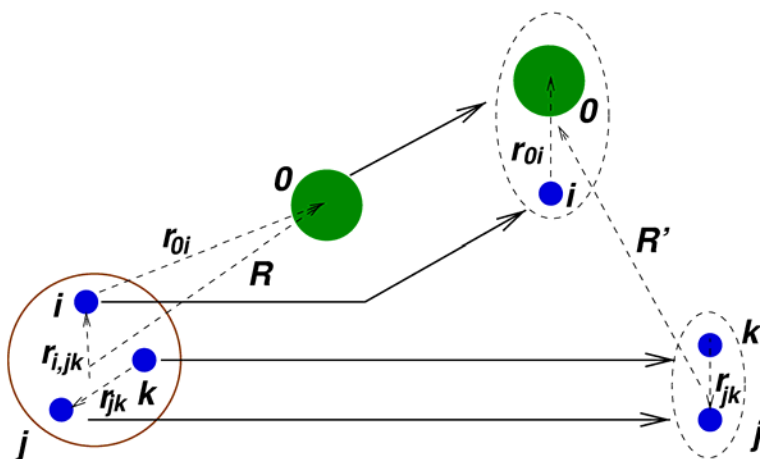


Regla de oro de Fermi

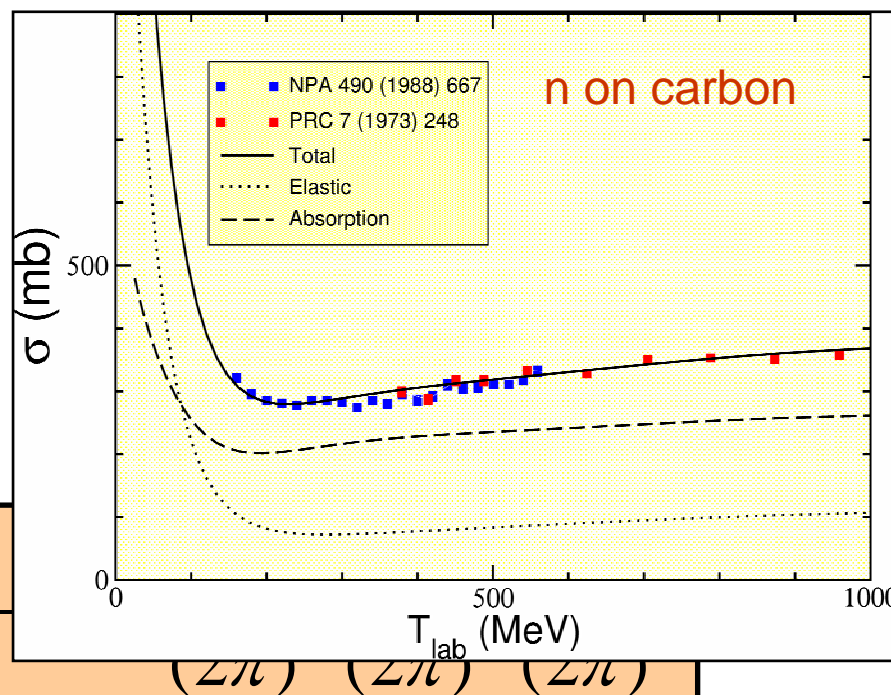
Reacciones de fragmentación en blancos ligeros (No Coulomb)

$$\frac{d^6 \sigma^{(0i)}}{d\vec{p}'_{i,jk} d\vec{p}'_{jk}} \propto \sum \left| \left\langle \Phi_{p'_{jk} s_{jk} \sigma_{jk}}^{(jk)} e^{i\vec{p}_{i,jk} \cdot \vec{r}_{i,jk}} \chi_{s_i \sigma_i} \mid \Psi^{JM} \right\rangle \right|^2$$

Pure sudden approximation



$$d\sigma^{(i)} = \frac{2\pi}{v} |T^{(i)}|^2 \delta(E'_{0i} - E_0)$$

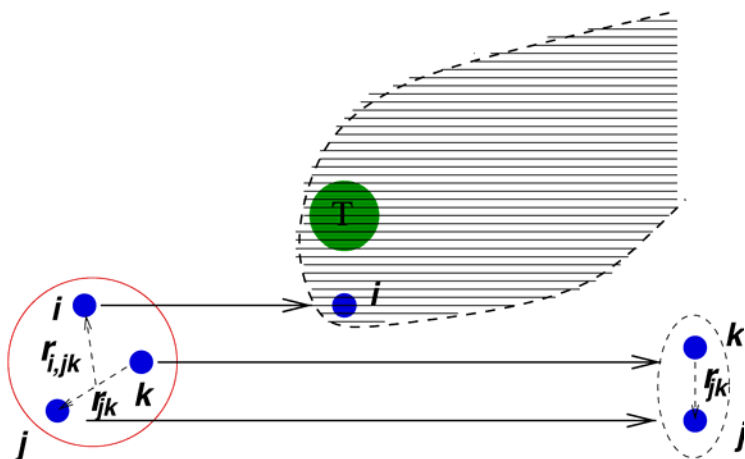


Regla de oro de Fermi

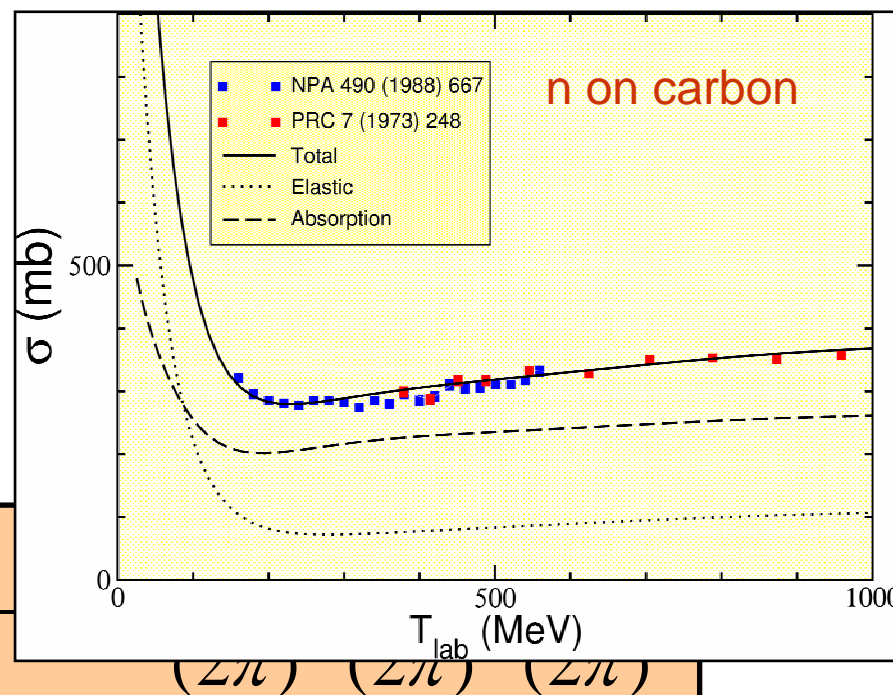
Reacciones de fragmentación en blancos ligeros (No Coulomb)

$$\frac{d^6 \sigma^{(0i)}}{d\vec{p}'_{i,jk} d\vec{p}'_{jk}} \propto \sum \left| \left\langle \Phi_{p'_{jk} s_{jk} \sigma_{jk}}^{(jk)} e^{i\vec{p}_{i,jk} \cdot \vec{r}_{i,jk}} \chi_{s_i \sigma_i} \mid \Psi^{JM} \right\rangle \right|^2$$

Pure sudden approximation



$$d\sigma^{(i)} = \frac{2\pi}{v} |T^{(i)}|^2 \delta(E'_{0i} - E_0)$$



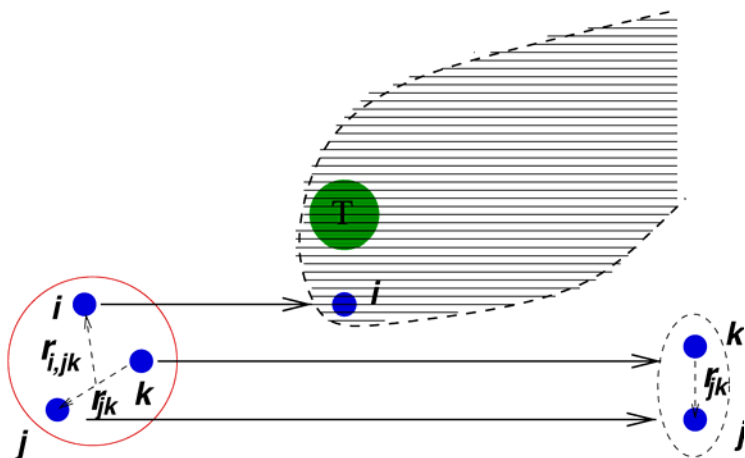
Regla de oro de Fermi

Reacciones de fragmentación en blancos ligeros (No Coulomb)

$$\frac{d^6 \sigma^{(0i)}}{d\vec{p}'_{i,jk} d\vec{p}'_{jk}} \propto \sum \left| \left\langle \Phi_{p'_{jk} s_{jk} \sigma_{jk}}^{(jk)} e^{i\vec{p}_{i,jk} \cdot \vec{r}_{i,jk}} \chi_{s_i \sigma_i} \mid \Psi^{JM} \right\rangle \right|^2$$

Pure sudden approximation

Si no FSI



$$\Phi_{p'_{jk} s_{jk} \sigma_{jk}}^{(jk)} = e^{i\vec{p}_{jk} \cdot \vec{r}_{jk}}$$

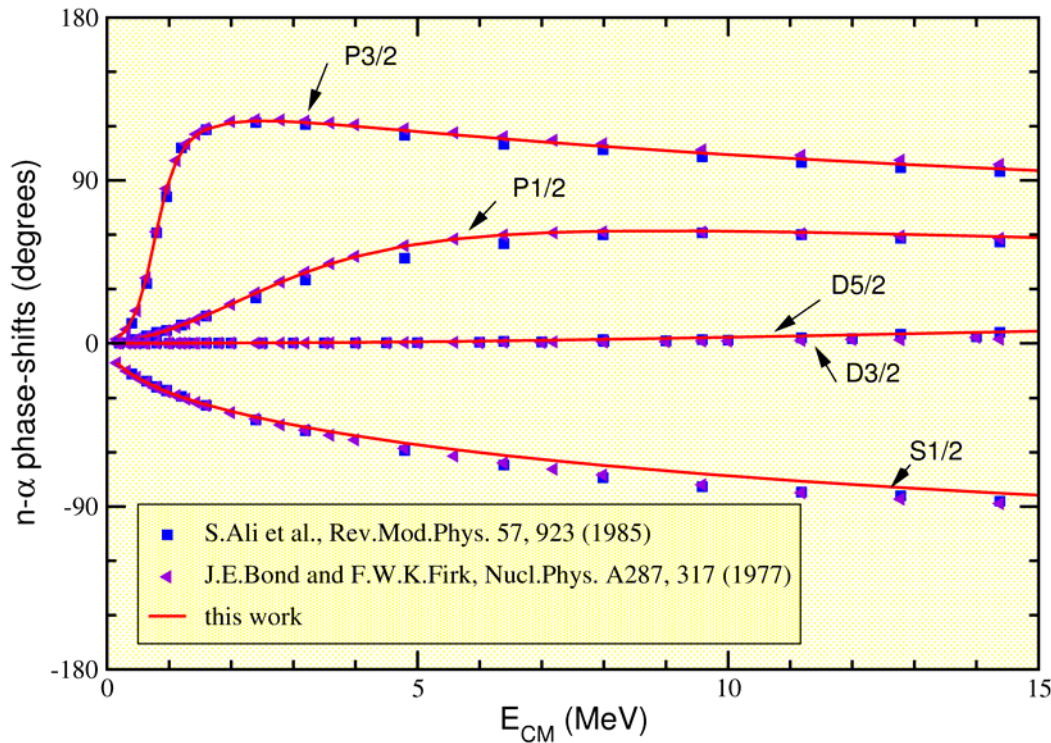
Transformada de Fourier

$$d\sigma^{(i)} = \frac{2\pi}{v} |T^{(i)}|^2 \delta(E'_{0i} - E_{0i}) \frac{d\vec{p}'_{0i}}{(2\pi)^3} \frac{d\vec{p}'_{jk}}{(2\pi)^3} \frac{d\vec{P}'}{(2\pi)^3}$$

Regla de oro de Fermi

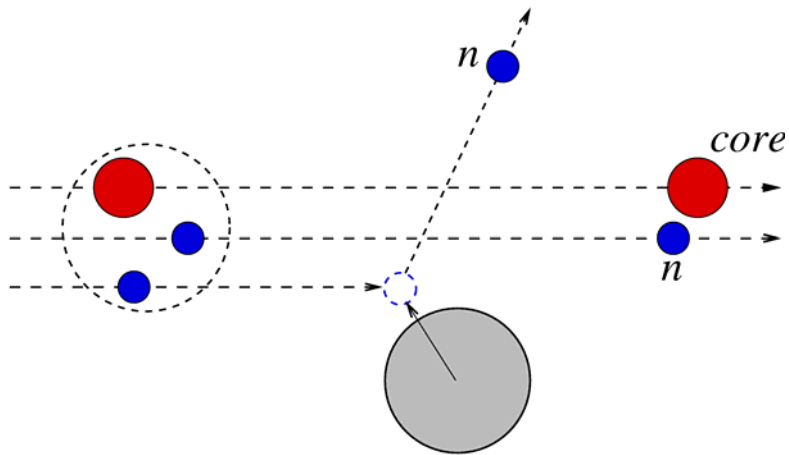
El caso del ${}^6\text{He}$: $n+n+\alpha$

Interacción ${}^4\text{He}$ -neutrón: $V_{n\alpha}^{(\ell)}(r) = V_c^{(\ell)}(r) + V_{so}^{(\ell)}(r) \vec{\ell}_{n\alpha} \cdot \vec{S}_n$



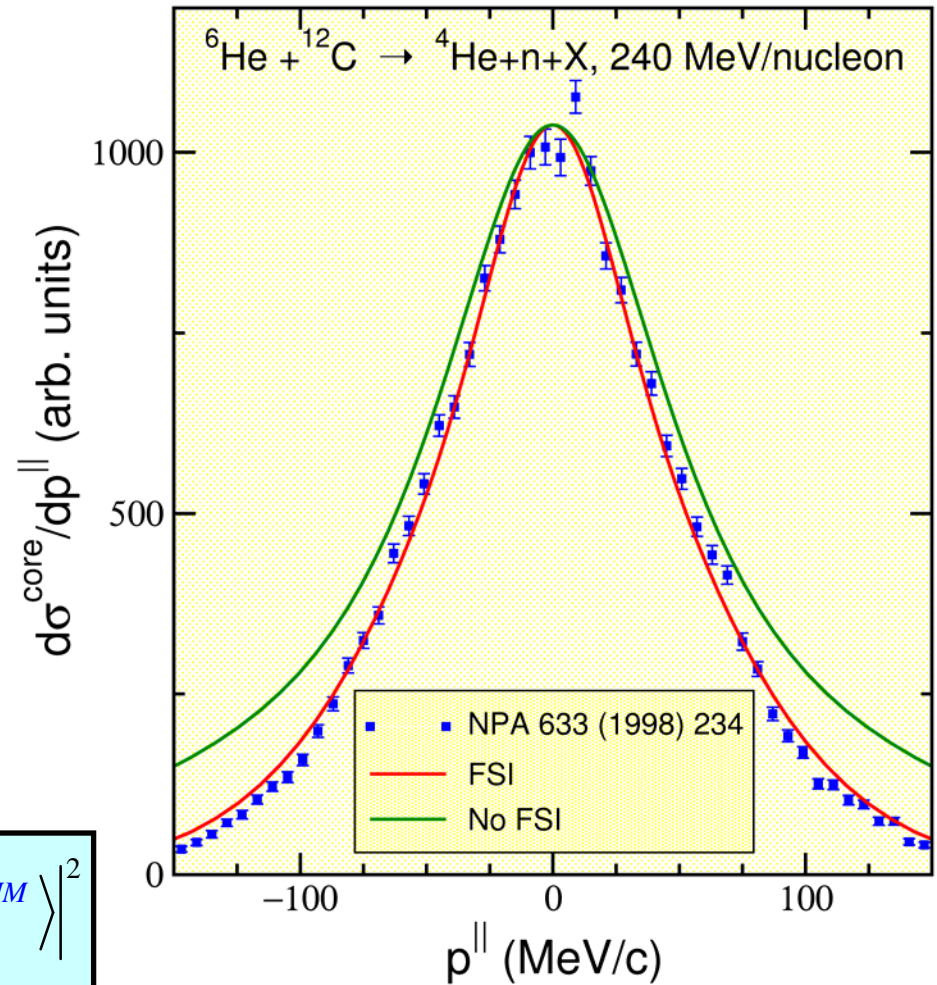
	Calc.	Exp.
${}^5\text{He}(n+\alpha)$		
$E(p_{3/2})$	0.77	0.77
$\Gamma(p_{3/2})$	0.68	0.64
$E(p_{1/2})$	1.94	1.97
$\Gamma(p_{1/2})$	4.02	5.22
${}^6\text{He}$		
B (MeV)	-0.97	-0.97 ± 0.04
rms (fm)	2.53	2.47 ± 0.10

El caso del ${}^6\text{He}$: $n+n+\alpha$

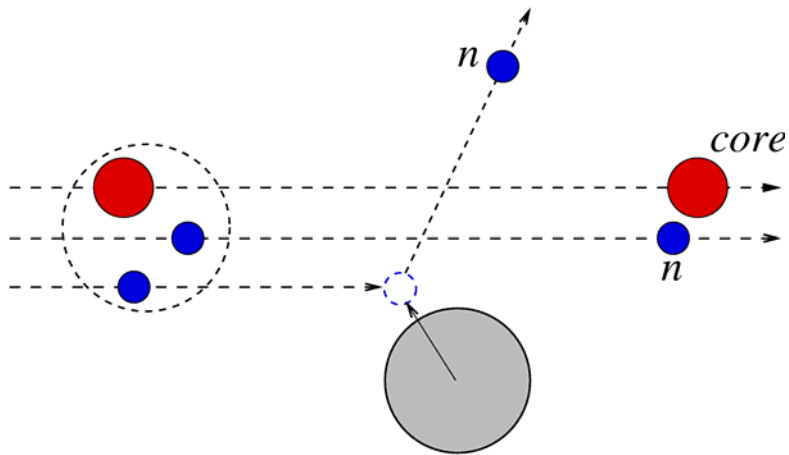


Distribución de momentos
del “core”

$$\frac{d^6\sigma^{(0i)}}{d\vec{p}'_{i,jk} d\vec{p}'_{jk}} \propto \sum \left| \left\langle \Phi_{p'_{jk} s_{jk} \sigma_{jk}}^{(jk)} e^{i\vec{p}_{i,jk} \cdot \vec{r}_{i,jk}} \chi_{s_i \sigma_i} \mid \Psi^{JM} \right\rangle \right|^2$$

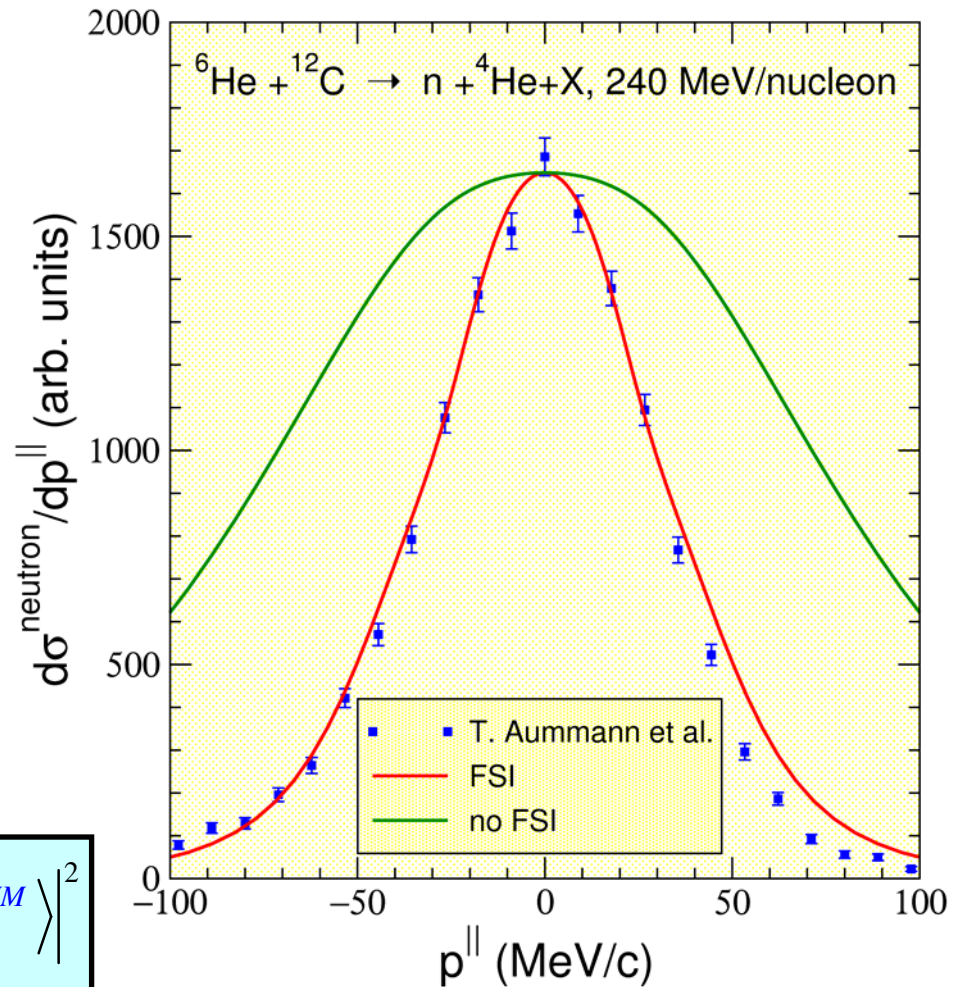


El caso del ${}^6\text{He}$: $n+n+\alpha$

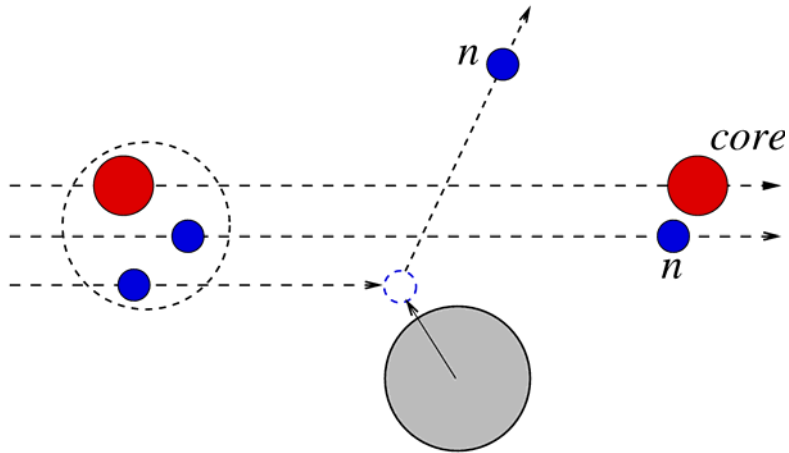


Distribución de momentos
del **neutrón**

$$\frac{d^6\sigma^{(0i)}}{d\vec{p}'_{i,jk} d\vec{p}'_{jk}} \propto \sum \left| \left\langle \Phi_{p'_{jk} s_{jk} \sigma_{jk}}^{(jk)} e^{i\vec{p}_{i,jk} \cdot \vec{r}_{i,jk}} \chi_{s_i \sigma_i} \mid \Psi^{JM} \right\rangle \right|^2$$

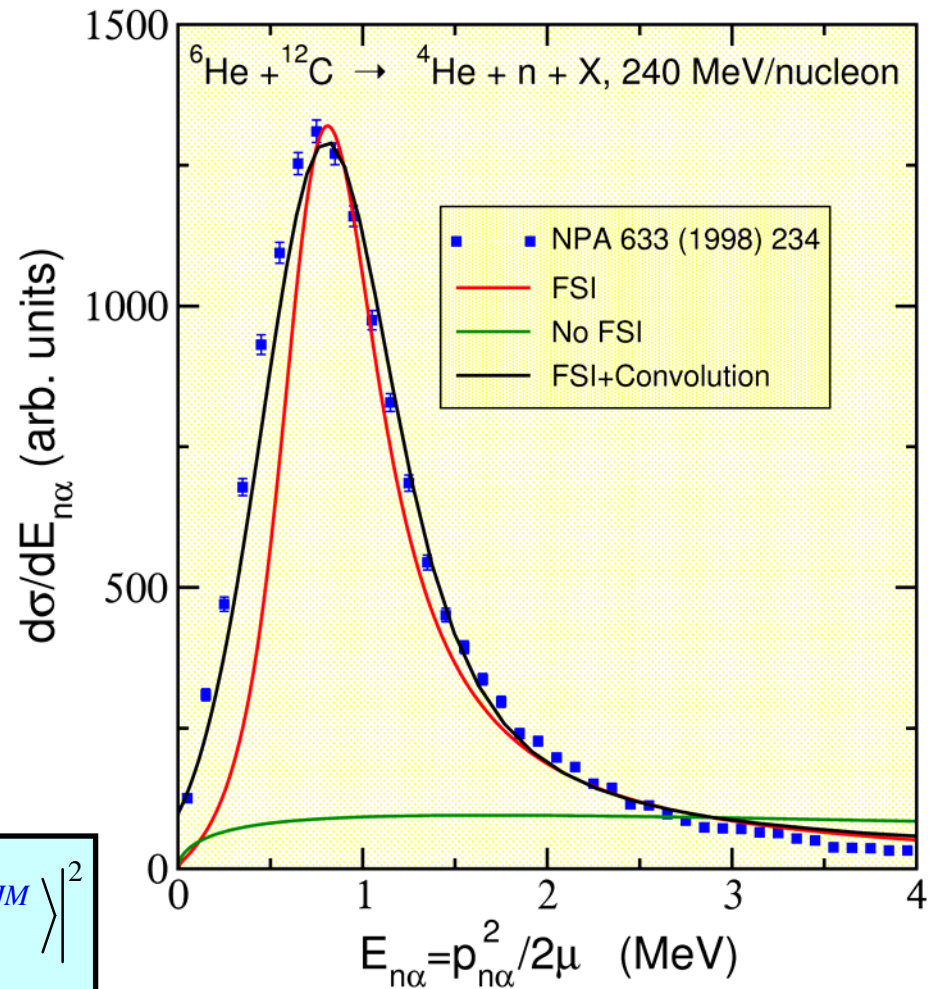


El caso del ${}^6\text{He}$: $n+n+\alpha$

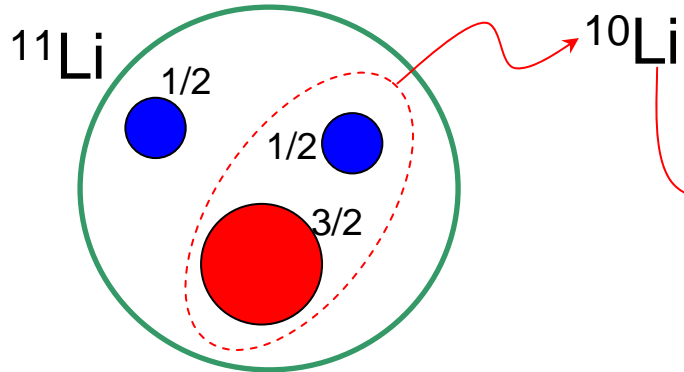


Distribución de momentos
del **energías** en ${}^5\text{He}$

$$\frac{d^6\sigma^{(0i)}}{d\vec{p}'_{i,jk} d\vec{p}'_{jk}} \propto \sum \left| \left\langle \Phi_{p'_{jk} s_{jk} \sigma_{jk}}^{(jk)} e^{i\vec{p}_{i,jk} \cdot \vec{r}_{i,jk}} \chi_{s_i \sigma_i} \mid \Psi^{JM} \right\rangle \right|^2$$

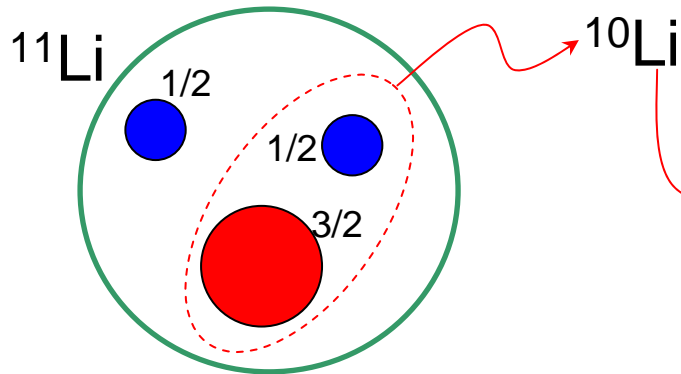


El caso del ^{11}Li : $n+n+^9\text{Li}$



- 1) $E_s < 200$ keV
- 2) $E_p \sim 0.5$ MeV
- 3) Contenido en onda p ??

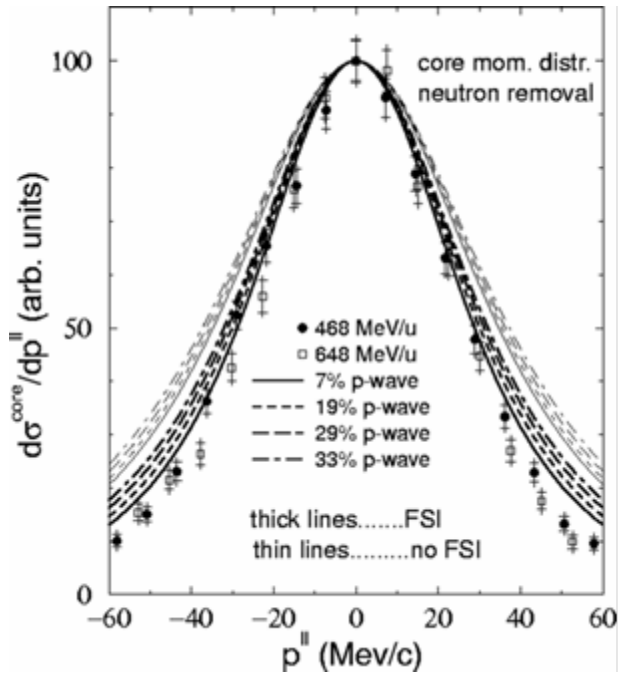
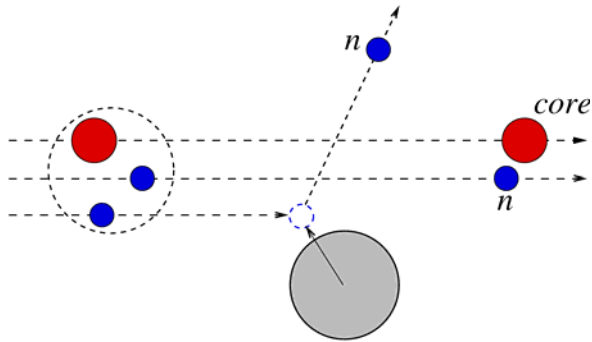
El caso del ^{11}Li : $n+n+^9\text{Li}$



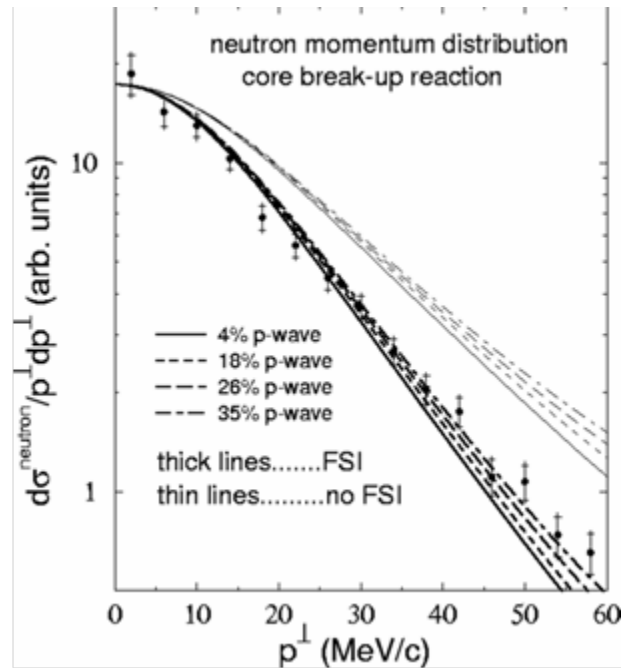
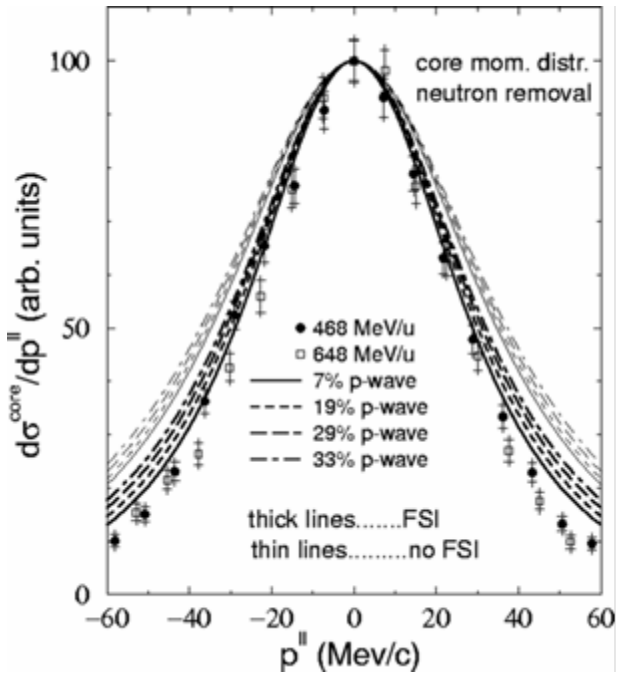
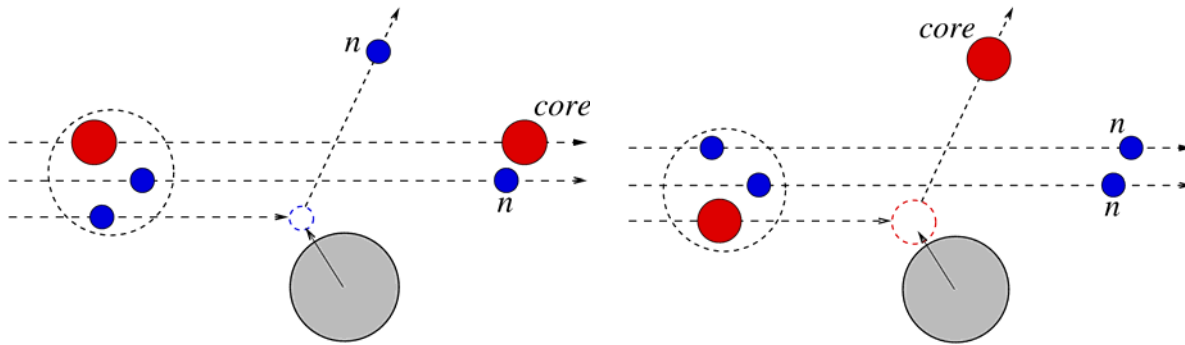
- 1) $E_s < 200 \text{ keV}$
- 2) $E_p \sim 0.5 \text{ MeV}$
- 3) Contenido en onda p ??

$$V_{^9\text{Li}-n}^{(\ell)}(r) = V_c^{(\ell)}(r) + V_{so}^{(\ell)}(r) \vec{\ell}_{^9\text{Li}-n} \cdot \vec{s}_n + V_{ss}^{(\ell)}(r) \vec{s}_c \cdot \vec{s}_n$$

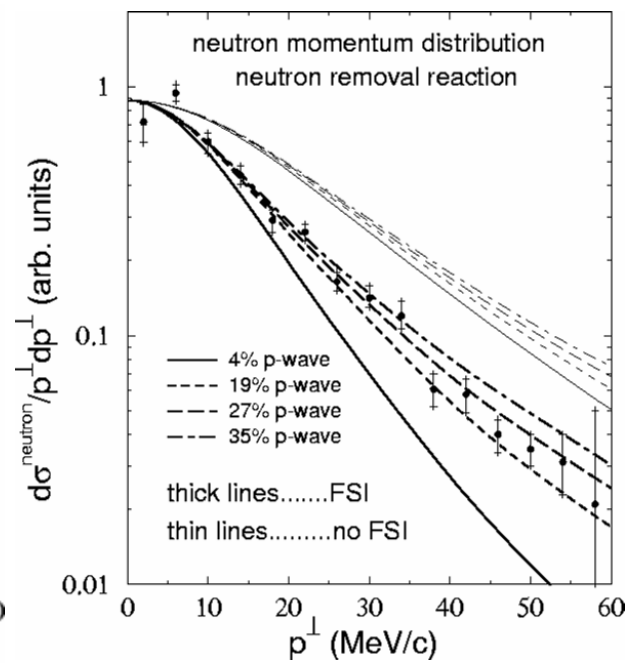
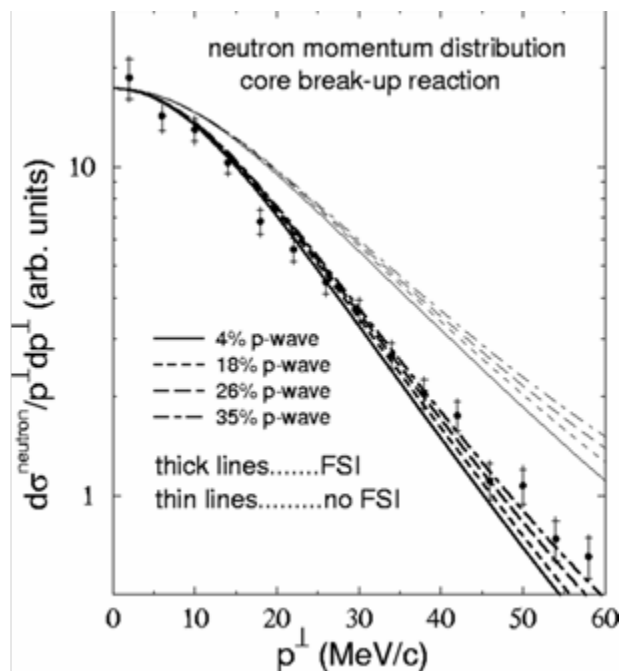
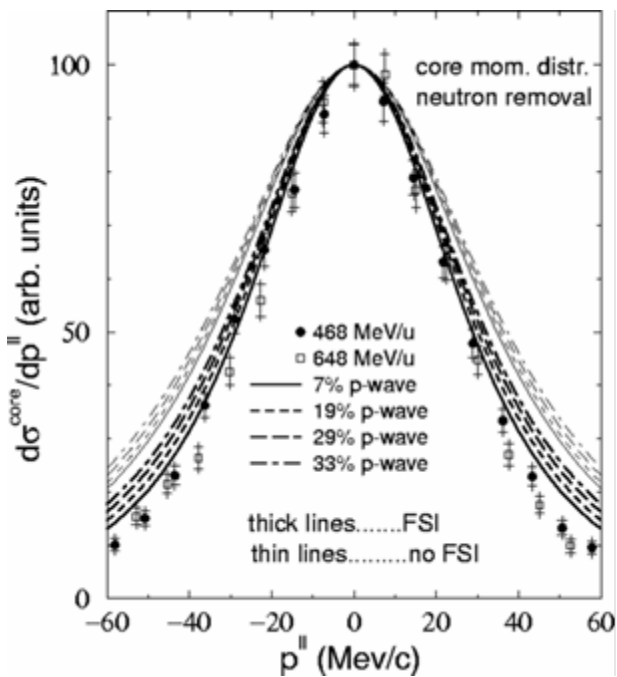
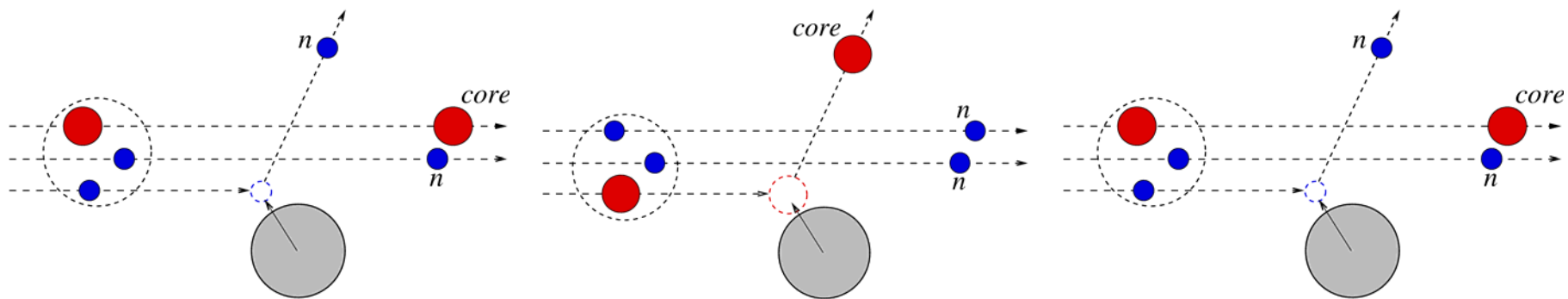
El caso del ^{11}Li : $n+n+^9\text{Li}$



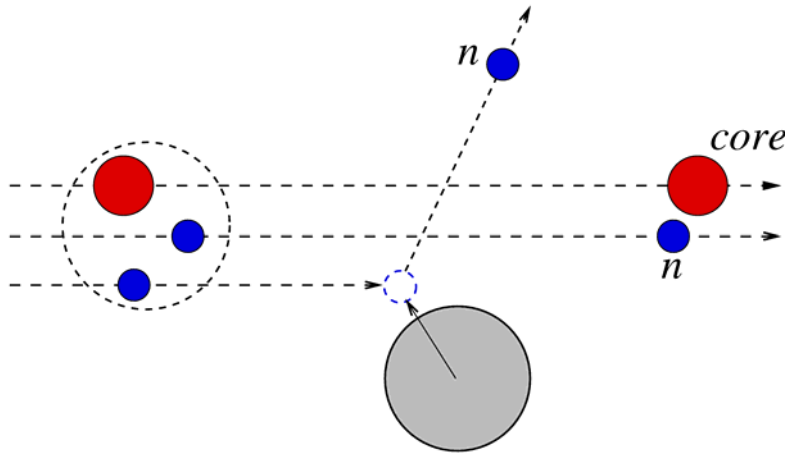
El caso del ^{11}Li : $n+n+^9\text{Li}$



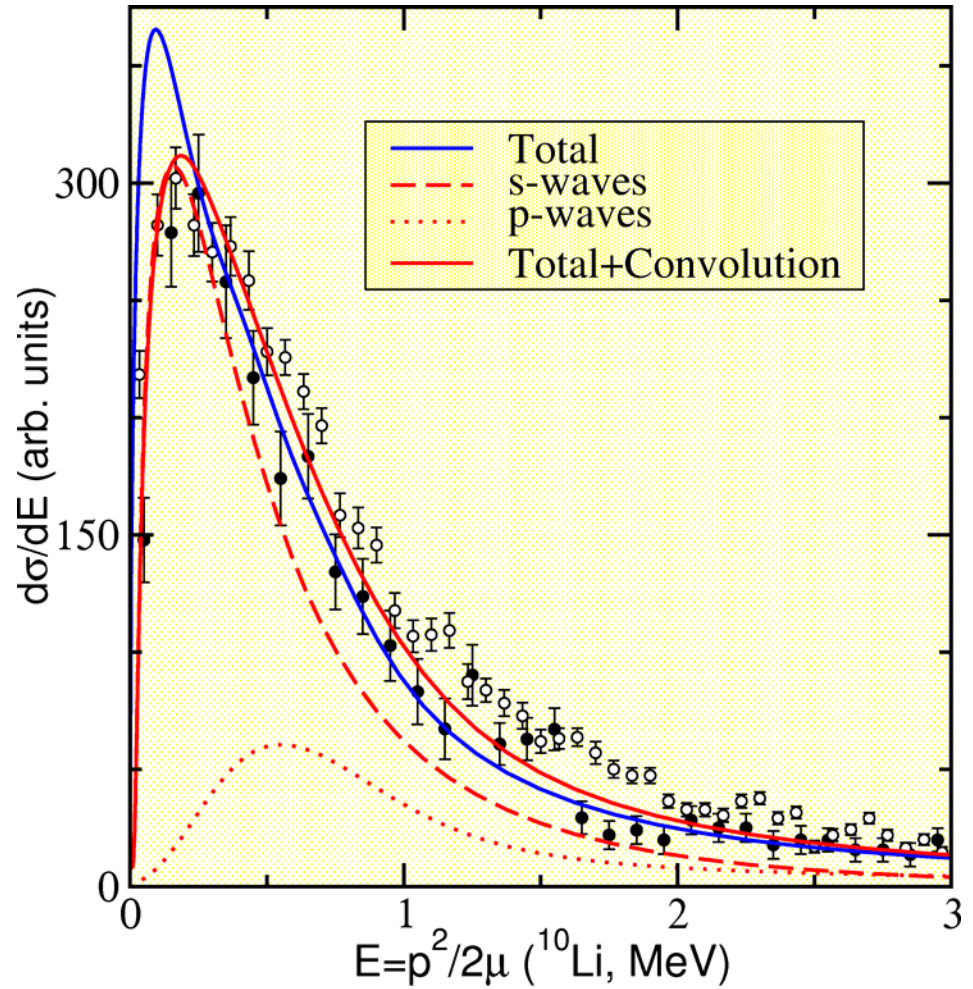
El caso del ^{11}Li : $n+n+^9\text{Li}$



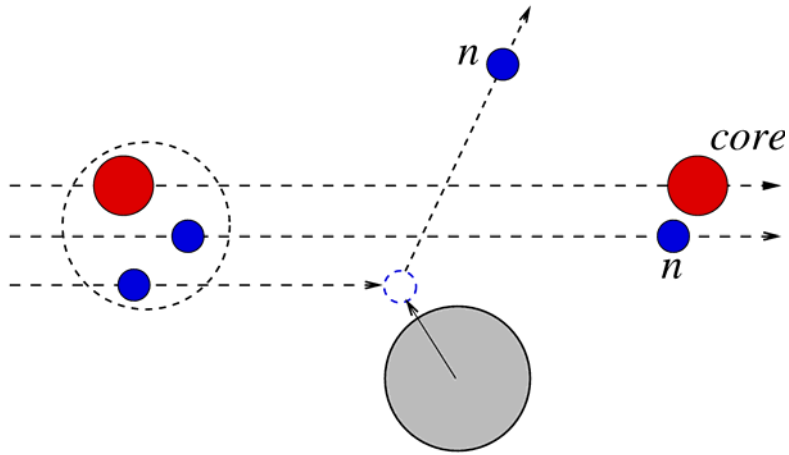
El caso del ^{11}Li : $n+n+^9\text{Li}$



Distribución de momentos
del **energías** en ^{10}Li

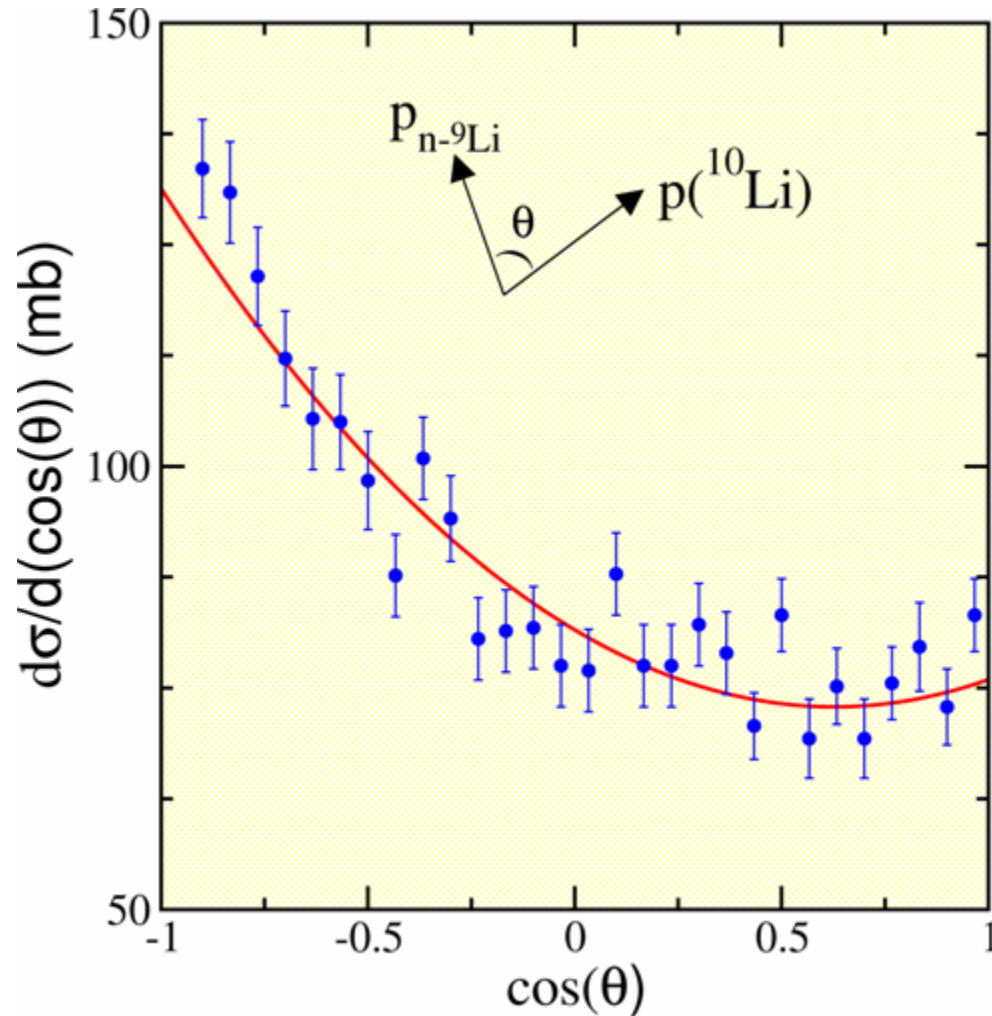


El caso del ^{11}Li : $n+n+^9\text{Li}$



Distribución angular
del ^{10}Li

Ángulo entre el momento relativo
 ^9Li -neutrón y el momento del ^{10}Li



En la “sudden approximation”

$$\frac{d^6 \sigma^{(0i)}}{d\vec{p}'_{i,jk} d\vec{p}'_{jk}} \propto \sum \left| \left\langle \Phi_{p'_{jk} s_{jk} \sigma_{jk}}^{(jk)} e^{i\vec{p}_{i,jk} \cdot \vec{r}_{i,jk}} \chi_{s_i \sigma_i} \mid \Psi^{JM} \right\rangle \right|^2$$

- ✓ ¿Dependencia en la energía del haz?
- ✓ ¿Dependencia en el blanco empleado?
- ✓ ¿Distribuciones longitudinales y transversales?
- ✓ ¿Valores absolutos de las secciones eficaces?

En la “sudden approximation”

$$\frac{d^6 \sigma^{(0i)}}{d\vec{p}'_{i,jk} d\vec{p}'_{jk}} \propto \sum \left| \left\langle \Phi_{p'_{jk} s_{jk} \sigma_{jk}}^{(jk)} e^{i\vec{p}_{i,jk} \cdot \vec{r}_{i,jk}} \chi_{s_i \sigma_i} \mid \Psi^{JM} \right\rangle \right|^2$$

- ✓ ¿Dependencia en la energía del haz?
- ✓ ¿Dependencia en el blanco empleado?
- ✓ ¿Distribuciones longitudinales y transversales?
- ✓ ¿Valores absolutos de las secciones eficaces?

$$\frac{d^6 \sigma_{(\text{elas,abs})}^{(0i)}}{d\vec{p}'_{i,jk} d\vec{p}'_{jk}} = \sigma_{(\text{elas,abs})}^{(0i)} \frac{1}{2J+1} \sum \left| \left\langle \Phi_{p'_{jk} s_{jk} \sigma_{jk}}^{(jk)} e^{i\vec{p}_{i,jk} \cdot \vec{r}_{i,jk}} \chi_{s_i \sigma_i} \mid \Psi^{JM} \right\rangle \right|^2$$

Resumiendo....

- ✓ Los núcleos ligeros próximos a la “dripline” de neutrones pueden presentar una **estructura de halo**: ${}^6\text{He}$, ${}^{11}\text{Li}$, ${}^{11}\text{Be}$, ${}^{19}\text{C}$
- ✓ Además de poder describirse como **sistemas de pocos cuerpos** los neutrones del halo residen preferentemente en la **zona clásicamente prohibida**.
- ✓ Experimentalmente se observa que estos núcleos presentan un **comportamiento anómalo**: Radios de interacción, disociación Coulombiana, distribuciones de momentos...
- ✓ La descripción de estos núcleos como sistemas de pocos cuerpos **permite reproducir datos experimentales**, no sólo de su estructura, sino también de procesos de fragmentación.